

---

# **REFERÈNCIES**

---

**REFERÈNCIES**

---

- ADAMS JM, CORY S (1998): The Bcl-2 protein family: arbiters of cell survival. *Science* 281, 1322-1326
- ALNEMRI ES, LIVINGSTON DJ, NICHOLSON DW, SALVESEN G, THORNBERRY NA WONG WW, YUAN J (1996): Human ICE/CED-3 protease nomenclature. *Cell* 87, 171
- AL-RUBEAI M, SINGH RP (1998): Apoptosis in cell culture. *Curr. Op. Biotechnol.* 9, 152-156
- AL-RUBEAI M, SINGH RP, GOLDMAN MH, EMERY AN (1995): Death mechanisms of animal cell in conditions of intensive cell-culture systems. *Biotechnol. Bioeng.* 45, 463-472
- ALTAMIRANO C (2000): Análisis del metabolismo de células CHO recombinantes y desarrollo de estrategias de cultivo en medios definidos. Tesi doctoral, Universitat Autònoma de Barcelona
- AMBROSINI G, ADIDA C, ALTIERI DC (1997): A novel anti-apoptosis gene, survivin, expressed in cancer and lymphoma. *Nat. Med.* 3, 917-21
- ARATHOON WR, BIRCH JR (1986): Large-scale cell culture in biotechnology. *Science* 232, 1390-1395
- AUSUBEL FM, BRENT R, KINGSTON RE, MOORE DD, SEIDMAN JG, SMITH JA, STRUHL K (1990): *Current Protocols in Molecular Biology*. John Wiley and Sons, New York

- BAILEY JE (1991): Towards a science of metabolic engineering. *Science* 252, 1668-1675
- BAISCH H, BOLLMANN H, BORNKESSELS (1999): Degradation of apoptotic cells and fragments in HL-60 suspension cultures after induction of apoptosis by camptothecin and ethanol. *Cell Prolif.* 32, 303-319
- BARNABÉ N, BUTLER M (1994): Effect of temperature on nucleotide pools and monoclonal antibody production in a mouse hybridoma. *Biotechnol. Bioeng.* 44, 1235-1245
- BARTEK J, BARTOVA J, LUKAS J (1996): The Retinoblastoma protein and the Restriction point. *Curr. Opin. Cell Biol.* 8, 805-814
- BAUM C, RICHTERS A, OSTERTAG W (1999): Retroviral vector-mediated gene expression in hematopoietic cells. *Curr. Opin. Mol. Ther.* 1, 605-612
- BIALIK S, GOTTLIEB T (2000): Death and the Dead Sea. *Cell Death Differ.* 7, 851-859.
- BIRCH JR (1997): Review of biotechnology-derived products in use and in development. *Eur. J. Parenteral Sci. Biotechnology* (special issue), 3-10
- BLANKENBERG FG, KATSIKIS PD, TAIT JF, DAVIS RE, NAUMOVSKI L, OHTSUKI K, KOPIWODA S, ABRAMS MJ, DARKES M, ROBBINS RC, MAECKER HT I STRAUSS HW (1998): In vivo detection and imaging of phosphatidylserine expression during programmed cell death. *PNAS* 95, 6349-6354
- BLOEMKOLK JW, GRAY MR, MERCHANT F, MOSMANN TR (1992): Effect of temperature on hybridoma cell cycle and Mab production. *Biotechnol. Bioeng.* 40, 427-431
- BODRUG SE, AIME-SEMPE C, SATO T, KRAJEWSKI S, HANADA M, REED JC (1995): Biochemical and functional comparisons of Mcl-1 and Bcl-2 proteins: Evidence for a novel mechanism of regulating Bcl-2 family protein function. *Cell Death Differ.* 2, 173-182
- BOMAN K, ZHENG L, HAMILTON R, VAN DE GOOR J (2001): Dissecting apoptosis in CHO cells. 17<sup>th</sup> ESACT Meeting, *Animal cell technology: from target to market* (Lindner-Olsson E., ed.). Kluwer Academic Publishers, Tylösand (Sweden)
- BOSSY-WETZEL E, GREEN DR (2000): Detection of apoptosis by Annexin V labeling. *Meth. Enzymol.* 322, 15-18
- BOSSY-WETZEL E, NEWMEYER DD, GREEN DR (1998): Mitochondrial cytochrome c release in apoptosis occurs upstream of DEVD-specific caspase activation and independently of mitochondrial transmembrane depolarization. *EMBO* 17, 37-49
- BREITSCHOPF K, HAENDELER J, MALCHOW P, ZEITHER AM, DIMMELER S (2000): Posttranslational modification of Bcl-2 facilitates its proteasome-dependent degradation: molecular characterization of the involved signalling pathway. *Mol. Cel. Biol.* 20, 1886-1896

- BUDIHARDJO I, OLOVER H, LUTTER M, LUO X, WANG X (1999): Biochemical pathways of caspase activation during apoptosis. *Annu. Rev. Cell Dev. Biol.* 15, 269-290
- BUMP NJ, HACKETT M, HUGUNIN M, SESHAGIRI S, BRADY K, CHEN P, FERENZ C, FRANKLIN S, GHAYUR T, LI P, LICARI P, MANKOVICH J, SHI L, GREENBERG AH, MILLER LK, WONG WW (1995): Inhibition of ICE family proteases by baculovirus antiapoptotic protein p35. *Science* 269, 1885-1888
- BUTLER JE, FELDBUSH TL, MCGIVERN PL, STEWART N (1978): The enzyme linked immunosorbent assay (ELISA): a measure of antibody concentration or affinity? *Immunochem.* 15, 131-136
- CAPLE MV, FLETCHER TR, OWENS WJ, HARADA S, WALTHALL BJ (1991): Optimal large scale hybridoma growth and monoclonal antibody production in a new biphasic serum-free media system. *J. Cell. Biol.* 115, 82
- CAMPMAJÓ C, CAIRÓ JJ, SANFELIU A, MARTINEZ E, ALEGRET S, GÒDIA F (1994): Determination of ammonium and L-glutamine in hybridoma cell cultures by sequential flow injection analysis. *Cytotechnol.* 14, 177-182
- CHADEBECH P, BRICHESE L, BALDIN V, VIDAL S, VALETTE A (1999): Phosphorylation and proteasome-dependent degradation of Bcl-2 in mitotic-arrested cells after microtubule damage. *Biochem. Biophys. Res. Comm.* 262, 823-827
- CHAI F, TRUONG-TRAN AQ, HO LH, ZALEWSKI PD (1999): Regulation of caspase activation and apoptosis by cellular zinc fluxes and zinc deprivation: A review. *Immun. Cell Biol.* 77, 272-278
- CHAI J, SHIOZAKI E, SRINIVASULA SM, WU Q, DATAA P, ALNEMRI ES, SHI Y (2001): Structural Basis of Caspase-7 Inhibition by XIAP. *Cell* 104, 769-780
- CHARBONNEAU JR, GAUTHIER ER (2000): Prolongation of murine hybridoma cell survival in stationary batch culture by Bcl-xL expression. *Cytotechnol.* 34, 131-139
- CHENG E, NICHOLAS J, BELLOWS D, HAYWARD G, GUO H, REITZ M, HARDWICK J (1997b): A Bcl-2 homolog encoded by Kaposi sarcoma-associated virus, human herpesvirus 8, inhibits apoptosis but does not heterodimerize with Bax or Bak. *PNAS* 94, 690-694
- CHENG EH-Y, KIRSCH DG, CLEM RJ, RAVI R, KASTAN MB, BEDI A, UENO K, HARDWICK JM (1997a): Conversion of Bcl-2 to a Bax-like death effector by caspases. *Science* 278, 1966-1968
- CHERNYAK BV, BERNARDI P (1996): The mitochondrial permeability transition pore is modulated by oxidative agents through both pyridine nucleotides and glutathione at two separate sites. *Eur. J. Biochem.* 238, 623-630
- CHIOU SK, WHITE E (1998): Inhibition of ICE-like proteases inhibits apoptosis and increases virus production during adenovirus infection. *Virology* 244, 108-118

- CHITTENDEN T, FLEMINGTON C, HOUGHTON AB, EBB RG, GALLO GJ, ELANGOVAN B, CHINNADURAI G, LUTZ RJ (1995a): A conserved domain in Bak, distinct from BH1 and BH2, mediates cell death and protein binding functions. *EMBO J.* 14, 5589-5596
- CHITTENDEN T, HARRINGTON EA, O'CONNOR R, FLEMINGTON C, LUTZ RJ, EVAN GI, GUILD BC (1995b): Induction of apoptosis by the Bcl-2 homologue Bak. *Nature* 374, 733-736
- CHOMCZYNSKI P, SACCHI N (1987): Single step method of RNA isolation by acid guanidinium-thiocyanate-phenol-chloroform extraction. *Anal. Biochem* 162, 156-159
- CHOU JJ, MATSUO H, DUAN H, WAGNER G (1998): Solution structure of the RAIDD CARD and model for CARD/CARD interaction in caspase-2 and caspase-9 recruitment. *Cell* 94, 171-180
- CLEARY ML, SMITH SD, SKLAR J (1986): Cell cloning and structural analysis of cDNAs For bcl-2 and a hybrid Bcl- 2/immunoglobulin transcript resulting from the t(14;18) translocation. *Cell* 47, 19-28
- CLEM RJ, CHENG EH, KARP CL, KIRSCH DG, UENO K, TAKAHASHI A, KASTAN MB, GRIFFIN DE, EARNSHAW WC, VELIUONA MA, HARDWICK JM (1998): Modulation of cell death by Bcl-XL through caspase interaction. *PNAS* 95, 554-559
- CLEM RJ, MILLER LK (1994): Control of programmed cell death by the baculovirus genes p35 and iap. *Mol. Cel. Biol.* 14, 5212-5222
- COHEN GM (1997): Caspases: the executioners of apoptosis. *Biochem. J.* 326, 1-16
- COLLINS MK, PERKINS GR, RODRIGUEZ-TARDUCHY G, NIETO MA, LOPEZ-RIBAS A (1994): Growth factors as a survival factors: regulation of apoptosis. *BioEssays* 16, 133-138
- COTTER G, AL-RUBEAI M (1995): Cell death (apoptosis) in cell culture systems. *TIBTECH* 13, 150-155
- CROOK NE, CLEM RJ, MILLER LK (1993): An apoptosis-inhibiting baculovirus gene with a zinc finger-like motif. *J. Virol.* 67, 2168-2174
- CRYNS V, YUAN J (1998): Proteases to die for. *Genes Dev.* 12, 1551-1570
- de KONING W.J, WALSH GA, WRYNN AS, HEADON DR (1994): Recombinant reproduction. *Biotechnol.* 12, 988-992
- DECAUDIN D, GELEY S, HIRSDCH T, CASTEDO M, MARCHETTI P, MACHO A, KOFLER R, KROEMER G (1997): Bcl-2 and Bcl-XL antagonize the mitochondrial dysfunction preceding nuclear apoptosis induced by chemotherapeutics agents. *Cancer Res.* 57: 62-67
- DEMANGEL C, DUVAL D, GEAHEL I (1991): The role of dissolved oxygen in growth of animal cells. *Prod. Biol. Anim. Cells Cult.. ESACT 10<sup>th</sup> Meeting*, 256-258

- DEVERAUX QL, LEO E, STENNICKE HR, WELSH K, SALVESEN GS, REED JC. (1999a): Cleavage of human inhibitor of apoptosis protein XIAP results in fragments with distinct specificities for caspases. *EMBO J.* 18: 5242-5251
- DEVERAUX QL, REED JC (1999): IAP family proteins--suppressors of apoptosis. *Genes. Dev.* 13, 239-52
- DEVERAUX QL, STENNICKE HR, SALVESEN GS, REED JC (1999b): Endogenous inhibitors of caspases. *J. Clin. Immunol.* 19: 388-398
- DEVERAUX QL, TAKAHASHI R, SALVESEN GS, REED JC (1997): X-linked IAP is a direct inhibitor of cell-death proteases. *Nature* 388:300-304
- DICKSON AJ (1998): Apoptosis regulation and its applications to biotechnology. *TIBTECH* 16, 339-342
- DUKE RC, COHEN JJ (1992): Morphological and biochemical assays of apoptosis. In K. Janssen (ed). Current protocols in immunology. Wiley, New York.
- DUTTON G (2001): Mab manufacturing concerns. *GEN* 21, 1
- EARNshaw WC (1999): A cellular poison cupboard. *Nature* 397, 387-389
- EKERT PG, SILKE J, VAUX DL (1999): Caspase inhibitors. *Cell Death Differ.* 6, 1081-1086
- EL-DEIRY WS, TOKIUNO T, VELCULESCU VE, LEVY DB, PARSONS R, TRENT JM, LIN D, MERCER WE, KINZLER KW, VOGELSTEIN B (1993): WAF1, a potential mediator of p53 tumor suppression. *Cell* 75, 817-825
- ENARI M, SAKAHIRA H, YOKOYAMA H, OKAWA K, IWAMATSU A, NAGATA SA (1998): Caspase-activated DNase that degrades DNA during apoptosis, and its inhibitor ICAD. *Nature* 391, 43-50
- EVAN G, LITTLEWOOD T (1998): A matter of life and cell death. *Science* 281, 1317-1321
- EVERETT H, McFADDEN G (1999): Apoptosis: an innate immune response to virus infection. *Trends Microbiol.* 7, 160-165
- EWEN ME, SLUSS HK, WHITEHOUSE LL, LIVINGSTON DM (1993): TGF $\beta$  inhibition of Cdk4 synthesis is linked to cell cycle arrest. *Cell* 74, 1009-1020
- FASSNACHT D, RÖSSING S, FRANEK F, AL-RUBEAI M, PÖRTNER R (1998): Effect of *Bcl-2* expression on hybridoma cell growth in serum-supplemented, protein-free and diluted media. *Cytotechnol.* 26, 219-225
- FASSNACHT D, RÖSSING S, SINGH RP, AL-RUBEAI M, PÖRTNER R (1999): Influence of *bcl-2* on antibody productivity in high cell density perfusion cultures of hybridoma. *Cytotechnol.* 30, 95-

105

FOIRE C, TREZEGUET V, LE SAUX A, ROUX P, SCHWIMMER C, DIANOUX AC, NOEL F, LAUQUIN GJ, BRANDOLIN G, VIGNAIS PV (1998): The mitochondrial ADP/ATP carrier: structural, physiological and pathological aspects. *Biochimie* 80, 137-150

FISCHER RP, JIN P, CHAMBERLIN HM, MORGAN DO (1995): Alternative mechanisms of CAK assembly require an assembly factor or an activating kinase. *Cell* 83, 47-57

FRANEK F (1995): Starvation-induced programmed death of hybridoma cells: Prevention by aminoacid mixtures. *Biotechnol. Bioeng.* 45, 86-90

FRANEK F, DOLNIKOVA J (1991): Hybridoma growth and monoclonal antibody production in iron-rich protein-free medium: effect of nutrient concentration. *Cytotechnol.* 7, 33-38

FRANEK F, VOMASTEK T, DOLIKOVA J (1992): Fragmented DNA and apoptotic bodies document the programmed way of cell death in hybridoma cultures. *Cytotechnol.* 9, 117-123

FRESHNEY RI (1983): *Culture of animal cells: A manual of basic technique*. AR Liss, Inc. New York

FRESHNEY RI (1986): *Animal cell culture: A practical approach*. IRL Press. Oxford, Washington DC

FUSSENEGER M (2001): The impact of mammalian gene regulation concepts on functional genomic research, metabolic engineering, and advanced gene therapies. *Biotechnol. Prog.* 17, 1-51

FUSSENEGER M, BAILEY JE (1998): Molecular regulation of cell-cycle progression and apoptosis in mammalian cells: implications for biotechnology. *Biotechnol. Prog.* 14, 807-833

FUSSENEGGER M (2001): The impact of mammalian gene regulation concepts on functional genomic research, metabolic engineering, and advanced gene therapies. *Biotechnol. Prog.* 17, 1-51

FUSSENEGGER M, SCHLATTER S, DÄTWYLER D, MAZUR X, BAILEY JE (1998): Controlled proliferation by multigene metabolic engineering enhances the productivity of Chinese hamster ovary cells. *Nat. Biotechnol.* 16, 468-472

GABERNET C (1999): Disseny d'estrategies per a la inhibició de l'apoptosi en cultius d'hibridomes. Treball experimental de Màster, Universitat Autònoma de Barcelona

GÀMEZ X (2000): Estudi d'estrategies de cultiu per a cèl·lules animals, basades en eines d'instrumentació i control. Tesi doctoral, Universitat Autònoma de Barcelona

GAO CY, ZELENKA PS (1997): Cyclins, cyclin-dependent kinases and differentiation. *BioEssays* 19, 307-315

GERVAIS JL, SETH P, ZHANG H (1998): Cleavage of CDK inhibitor p21 (Cip1/Waf1) by caspases

- is an early event during DNA damage-induced apoptosis. *J. Biol. Chem.* 24, 19207-19212
- GLOTZER M, MURRAY AW, KIRSCHNER MW (1991): Cyclin is degraded by the ubiquitin pathway. *Nature* 349, 132-138
- GOTTLIEB RA (2000): Mitochondria: execution central. *FEBS Lett.* 482, 6-12
- GRAEBER TG, OSMANIAN C, JACKS T, HOUSMAN DE, KOCH CJ, LOWE SW, GIACCIA AJ (1996): Hypoxia-mediated selection of cells with diminished apoptotic potential in solid tumours. *Nature* 379, 88-91
- GREEN DR, REED JC (1998): Mitochondria and apoptosis. *Science* 281, 1309-1312
- GURTU V, YAN G, ZHANG G (1996): IRES bicistronic vectors for efficient creation of stable mammalian cell lines. *Biochem. Biophys. Res. Commun.* 229, 295-298
- HAASS C (1999): Apoptosis. Dead end for neurodegeneration? *Nature* 399, 204-207
- HARDWICK JM (2001): Apoptosis in viral pathogenesis. *Cell Death Differ.* 8, 109-10
- HARPER JW, ELLEDGE SJ, KEYOMARSI K, DYNLACHT B, TSAI L, ZHANG P, DOBTOWOLSKI S, BAI C, CONNELL-CROWLEY L, SWINDELL E, FOX MP, WEI N (1995): Inhibition of cyclin dependent kinases by p21. *Mol. Biol. Cell* 6, 387-400
- HAUSER H, WAGNER R (1997): *Mammalian Cell Biotechnology in Protein Production*. Walter de Gruyter, Berlin
- HAWKINS CJ, UREN AG, HÄCKER G, MEDCALF RL, VAUX DL (1996): Inhibition of interleukin 1beta-converting enzyme-mediated apoptosis of mammalian cells by baculovirus IAP. *PNAS* 93: 13786-13790
- HAY A., WASSARMAN DA., RUBIN GM. (1995): Drosophila homologs of baculovirus inhibitor of apoptosis proteins function to block cell death. *Cell* 83: 1253-1262
- HAYTER PM, CURLING EA, BAINES AJ, JENKINS N, SALMON I, STRANGE PG, TONG J, BULL AT (1992) Glucose limited chemostat culture of CHO cells producing recombinant human interferon- $\gamma$ . *Biotechnol. Bioeng.* 39, 327-335
- HAYTER PM, CURLING EA, GOULD ML, BAINES, AJ, JENKINS N, SALMON I, STRANGE PG (1993): The effect of dilution rate on CHO cell physiology and recombinant human interferon- $\gamma$  production in glucose limited chemostat culture. *Biotechnol. Bioeng.* 42, 1077-1085
- HERBERG JA, PHILLIPS S, BECK S, JONES T, SHEER D, WU JJ, PROCHAZKA V, BARR PJ, KIEFER MC, TROWSDALE J (1998): Genomic structure and domain organisation of the human *Bak* gene. *Gene* 211, 87-94

---

R E F E R È N C I E S

---

- HESSE F, WAGNER R (2000): Development and improvements in the manufacturing of human therapeutics with mammalian cell cultures. *TIBTECH* 18, 173-180
- HILLER GW, CLARCK DS, BLANCH HW (1994): Transient responses of hybridoma cells in continuous culture to step changes in amino acid and vitamin concentrations. *Biotechnol. Bioeng.* 44, 303-321
- HINDS PW, MITTNACHT S, DULIC V, ARNOLD A, REED SI, WEINBERG RA (1992): Regulation of retinoblastoma protein functions by ectopic expression of human cyclins. *Cell* 70, 993-1006
- HIRAI H, ROUSSEL MF KATO JY, ASHMUN RA, SHERR CJ (1995): Novel INK4 proteins p19 and p18, are specific inhibitors of cyclin D-dependent kinases CDK4 and CDK6. *Mol. Cell. Biol.* 15, 2672-2681
- HIRAMA T, KOEFFLER HP (1995): Role of the cyclin-dependent kinase inhibitors in the development of cancer. *Blood* 86, 841-854
- HIRSCH T, MARCHETTI P, SUSIN SA, DALLAPORTA B, ZAMZAMI N, MARZO I, GEUSKENS M, KROEMER G (1997): The apoptosis-necrosis paradox. Apoptogenic proteases activated after mitochondrial permeability transition determine the mode of cell death. *Oncogene* 15, 1573-1581
- HOFFMANN A, NOLAN GP, BLAU HM (1996): Rapid retroviral delivery of tetracycline-inducible genes in a single autoregulatory cassette. *PNAS* 93, 5185-5190
- HOROWITZ JM, PARK SH, BOGENMANN E, CHENG JC, YANDELL DW, KAYE FJ, MINNA JD, DRYJA TP, WEINBERG RA (1992): Frequent inactivation of the retinoblastoma antioncogene is restricted to a subset of human tumor cells. *PNAS* 87, 2775-2779
- HU S, SNIPAS SJ, VINCENZ C, SALVESEN G, DIXIT VM (2000): Caspase-14 is a novel developmentally regulated protease. *J. Biol. Chem.* 273, 29648-29653
- HUANG Y, Park YC, Rich RL, Segal D, Myszka DG, Wu H (2001): Structural Basis of Caspase Inhibition by XIAP: Differential Roles of the Linker versus the BIR Domain. *Cell* 104, 781-790
- HUNOT S, FLAVELL R.A. (2001): Death of a monopoly? *Science* 292, 865-866
- HYUN HJ, SOHN J, AHN Y-H, SHIN H-C, KOH J-Y, YOON YH (2000): Depletion of intracellular zinc induces macromolecule synthesis- and caspase-dependent apoptosis of cultured retinal cells. *Brain Res.* 869, 39-48
- IMLER M, THOME M, HAHNE M, SCHNEIDER P, HOFMANN K, STEINER V, BODMER JL, SCHROTER M, BURNS K, MATTMANN C, RIMOLDI D, FRENCH LE, TSCHOPP J (1997): Inhibition of death receptor signals by cellular FLIP. *Nature* 388, 190-195
- IONOV Y, YAMAMOTO H, KRAJEWSKI S, REED JC, PERUCHO M (2000): Mutational

inactivation of the proapoptotic gene BAX confers selective advantage during tumor clonal evolution. *PNAS* 97, 10872-7

ITOH Y, VEDA H, SUZUKI E (1995): Overexpression of bcl-2, apoptosis supressing gene: prolonged viable culture period of hybridoma and enhanced antibody production. *Biotechnol. Bioeng.* 48, 118-122

JOZA N, SUSIN SA, DAUGAS E, STANFORD WL, CHO SK, LI CY, SASAKI T, ELIA AJ, CHENG HY, RAVAGNAN L, FERRI KF, ZAMZAMI N, WAKEHAM A, HAKEM R, YOSHIDA H, KONG YY, MAK TW, ZUNIGA-PFLUCKER JC, KROEMER G, PENNINGER JM (2001): Essential role of the mitochondrial apoptosis-inducing factor in programmed cell death. *Nature* 410, 549-554

CASTAN MB, ONYEKWERE O, SINDRANSKY D, VOGELSTEIN B, CRAIG RW (1991): Participation of p53 protein in the cellular response to DNA damage. *Cancer Res.* 51, 6304-6311

KERR JFR, WYLLIE AH, CURRIE AR (1972): Apoptosis:a basic biological phenomenon with wide ranging implications in tissue kinetics. *Br. J. Cancer* 26, 239-257

KHANIM F, DAWSON C, MESEDA C, DAWSON J, MACKETT M, YOUNG L (1997): BHRF1, a viral homologue of the Bcl-2 oncogene, is conserved at both the sequence and functional level in different Epstein-Barr virus isolates. *J. Gen. Virol.*, 78, 2987-99

KIEFER MC, BRAUER MJ, POWERS VC, WU JJ, UMANSKY SR, TOMEI LD, BARR PJ (1995): Modulation of apoptosis bythe widely distributed Bcl-2 homologue Bak. *Nature* 374, 736-739

KIMURA R, MILLER WM (1996): Inhibition of hybridoma growth and metabolism by elevated pCO<sub>2</sub>. *Abstr. Pap. Am. Chem. Soc. 211 Meet.*, Pt.1, BIOT 127

KIRSCH DG, DOSEFF A, CHAU BN, LIM DS, DE SOUZA-PINTO NC, HANSFORD R, KASTAN MB, LAZEBNIK YA, HARDWICK JM (1999): Caspase-3-dependent cleavage of Bcl-2 promotes release of cytochrome c. *J. Biol. Chem.* 274, 21155-21161

KLAUSNER A (1993): Back to the future: biotech product sales 1983-1993. *Biotechnol.* 11, 35-37

KO Y-K, KIM EK, KIM T, PARK H, PARK H-S, CHOI E-J, KIM S (2001): Glutamine-dependent Antiapoptotic Interaction of Human Glutaminyl-tRNA Synthetase with Apoptosis Signal-regulating Kinase 1. *J. Biol. Chem.* 276, 6030-6036

KÖHLER G, MILSTEIN CC (1974): Continuous culture of fused cells secreting antibody of predefined specificity. *Nature* 256, 495-497

KOLENKO VM, UZZO RG, DULIN N, HAUZMAN E, BUKOWSKI R, FINKE JH (2001): Mechanism of apoptosis induced by zinc deficiency in peripheral blood T lymphocytes. *Apoptosis* 6, 419-429

KOZAK M (1987): An analysis of 5'-noncoding sequences from 699 vertebrate messenger RNAs.

*Nucl. Acids. Res.* 15, 8125-8148

KOZOPAS KM, YANG T, BUCHAN HL, ZHOU P, CRAIG RW (1993): MCL1, a gene expressed in programmed myeloid cell differentiation, has sequence similarity to BCL2, *PNAS* 90, 3516-3520

KROEMER G (1998): Mitochondrial implication in apoptosis. Towards an endosymbiont hypothesis of apoptosis evolution. *Cell Death Differ.* 4, 443-456

KROEMER G, DALLAPORTA B, RESCHE-RIGON M (1998): The mitochondrial death/life regulator in apoptosis and necrosis. *Ann. Rev. Physiol.* 60, 619-642

KUMAR S (1997): The apoptotic cysteine protease CPP32. *Int. J. Biochem. Cell Biol.* 29, 393-396

KUMAR S (1999): Mechanisms mediating caspase activation in cell death. *Cell Death Differ.* 6, 1060-1066

LANE DP (1992): p53, guardian of the genome. *Nature* 358, 15-16

LEHNINGER AL, NELSON DL, COX MM (1993): *Principios de Bioquímica, 2<sup>a</sup> ed.* Ed. Omega, Barcelona.

LINDENBOIM L, HAVIV R, STEIN R (1998): Bcl-X<sub>L</sub> inhibits different apoptotic pathways in rat PC12 cells. *Neuroscience Lett.* 253, 37-40

LIPPENS S, KOCKX M, KNAAPEN M, MORTIER L, POLAKOWSKA R, VERHEYEN A, GARMYN M, ZWIJSEN A, FORMSTECHER P, HUYLEBROECK D, VANDENABEELE P, DECLERCQ W (2000): Epidermal differentiation does not involve the pro-apoptotic executioner caspases, but is associated with caspase-14 induction and processing. *Cell Death Differ.* 7, 1218-1224

LIU X, KIM CN, YANG J, JEMMERSON R, WANG X (1996): Induction of apoptotic program in cell free extracts: requirement for dATP and cytochrome c. *Cell* 86, 147-157

LODISH H, DARNELL J, BALTIMORE D (1990): *Molecular Cell Biology*. Scientific American Books, Inc., New York

MACDONALD C (1990): Development of new cell lines for animal cell biotechnology. *Crit. Rev. Biotechnol.* 10, 155-178

MARTENS DE, de GOOIJER CD, van der VELDEN-de GROOT CAM, BEUVER EC, TRAMPER J (1993) Effect of dilution rate on growth, productivity, cell cycle and size, and shear sensitivity of a hybridoma cell in a continuous culture. *Biotecnol. Bioeng.* 41, 429-439

MARZO I, BRENNER C, ZAMZAMI N, JÜRGENSEMMEIER JM, SUSIN SA, VIEIRA HLA, PRÉVOST M-C, XIE Z, MATSUYAMA S, REED JC, KROEMER G (1998): Bax and Adenine Nucleotide Translocator cooperate in the mitochondrial control of apoptosis. *Science* 281, 2027-2030

MASSIMO N, SILINI E, KOZAK C, TSUJIMOTO Y, CROCE CM (1987): Molecular Analysis of

*mbcl-2*: Structure and Expression of the Murine Gene Homologous to the Human Gene Involved in Follicular Lymphoma. *Cell* 49, 455-463

MASTRANGELO AJ (1999): Inhibition of apoptosis in mammalian cell culture, pp. 162-185. En: *Cell Engineering* (Al-Rubeaid M, ed). Kluwer Academic Publishers, London

MASTRANGELO AJ, BETENBAUGH MJ (1998): Overcoming apoptosis: new methods for improving protein-expression systems. *TIBTECH* 16, 88-95

MASTRANGELO AJ, HARDWICK JM, BEX F, BETENBAUGH MJ (2000a): Part I. Bcl-2 and Bcl-xL limit apoptosis upon infection with alphavirus vectors. *Biotechnol. Bioeng.* 67, 544-554

MASTRANGELO AJ, HARDWICK JM, ZOU B, BETENBAUGH MJ (2000b): Part II. Overexpression of bcl-2 family members enhances survival of mammalian cells in response to various culture insults. *Biotechnol. Bioeng.* 67, 555-565

MAZUR X, EPPENBERGER HM, BAILEY JE, FUSSENEGGER M (1998a): A novel autoregulated proliferation-controlled production process using recombinant CHO cells. *Biotechnol. Bioeng.* 65, 144-50

MAZUR X, FUSSENEGGER M, RENNER WA, BAILEY JE (1998b): Higher productivity of growth-arrested Chinese hamster ovary cells expressing the cyclin-dependent kinase inhibitor p27. *Biotechnol. Prog.* 14, 705-13

MCKENNA AL, COTTER TG (2000): Inhibition of caspase activity delays apoptosis in a transfected NS/O myeloma cell line. *Biotechnol. Bioeng.* 67, 165-176

MCKENNA SL, CARMODY RJ, COTTER TG (1999): The regulation of apoptosis in animal cells, pp. 123-161. En: *Cell Engineering* (Al-Rubeai M, ed). Kluwer Academic Publishers, London

McQUEEN A, BAILEY JE (1991): Growth inhibition of hybridoma cells by ammonium ion: correlation with effects on intracellular pH. *Bioprocess Engin.* 6, 49-61

MERCILLE S, MASSIE B (1994): Induction of apoptosis in nutrient-deprived cultures of hybridoma and myeloma cells. *Biotechnol. Bioeng.* 44, 1140-1154

MERCILLE S, JOLICOEUR P, GERVAIS C, PAQUETTE D, MOSSER DD, MASSIE B (1999): Dose dependent reduction of apoptosis in nutrient limited cultures of NS/O myeloma cells transfected with the E1B-19K adenoviral gene. *Biotechnol. Bioeng.* 63, 516-528

MILSTEIN C (1980): Monoclonal antibodies. *Sci. Am.* 243, 66-34

MINN AJ, KETTLON CS, LIANG H, KELEKAR A, VANDER HEIDEN MG, CHANG, FESIK SW, FILL M, THOMPSON CB (1999): Bcl-XL regulates apoptosis by heterodimerization-dependent and -independent mechanisms. *EMBO J.* 18, 632-643

MOELLERING BJ, TEDESCO JL, TOWNSEND RR, HARDY MR, SCOTT RW, PRIOR CP

- (1990): Electrophoretic differences in a Mab expressed in three media. *BioPharm* 30-38
- MORGAN DO (1995): Principles of CDK regulation. *Nature* 374, 131-134
- MUCHMORE SW, SATTLER M, LIANG H, MEADOWS RP, HARLAN JE, YOON HS, NETTESHEIM D, CHANG BS, THOMPSON CB, WONG S, FESIK WF (1996): X-ray and NMR structure of human Bcl-x<sub>L</sub>, and inhibitor of programmed cell death. *Nature* 381, 335-341
- MURAKAMI K, KONDO T, YANG G, CHEN SF, MORITA-FUJIMURA Y, CHAN PH (1999): Cold injury in mice: a model to study mechanisms of brain edema and neuronal apoptosis. *Prog. Neurobiol.* 57, 289-299
- NEGOESCU A, LORIMER P, LABAT-MOLEUR F, DROUET C, ROBERT C, GUILLERMET C, BRAMBILLA C, BRAMBILLA E (1996): In situ apoptotic cell labeling by the TUNEL method: Improvement and evaluation of cell preparations. *J. Histochem. Cytochem.* 44, 959-968
- NELLEN UR (1992): The ELISA test: a universal procedure for the identification of antigens on the basis of biotechnologically produced monoclonal antibodies information and school experiment. *Biotechnol. Edu.* 3, 107-112
- NETT-FIORDALISI MA, CERRETTI DP, BERSON DR, GILBERT DJ, JENKINS NA, COPELAND NG, BLACK RA, CHAPLIN DD (1992): Molecular cloning of the murine IL-1 beta converting enzyme cDNA. *J. Immunol.* 149, 3254-3259
- NEU J, SHENOY V, CHAKRABARTI R (1996): Glutamine nutrition and metabolism: where do we go from here? *FASEB J.* 10, 829-37
- NEWMEYER DD, BOSSY-WETZEL E, KLUCK RM, WOLF BB, BEERE HM, GREEN DR (2000): Bcl-XL does not inhibit the function of Apaf-1. *Cell Death Differ.* 7, 402-407
- NICHOLSON DW (1999): Caspase structure, proteolytic substrates, and function during apoptotic cell death. *Cell Death Differ.* 6, 1028-1042
- NICOTERA P, LEIST M, FERRANDO-MAY E (1998): Intracellular ATP, a switch in the decision between apoptosis and necrosis. *Toxicology Lett.* 102-103, 139-142
- NIGG EA (1995): Cyclin-dependent kinases: key regulators of the eukaryotic cell cycle. *BioEssays* 17, 471-480
- OKITA H, UMEZAWA A, SUZUKI A, HATA J (1998): Up-regulated expression of murine Mcl1/EAT, a Bcl-2 related gene, in the early stage of differentiation of murine embryonal carcinoma cells and embrionic stem cells. *Biochim. Biophys. Acta* 1398, 335-341
- OLTVAI ZN, MILLIMAN CL, KORSMEYER SJ (1993): Bcl-2 heterodimerizes in vivo with a conserved homolog, Bax, that accelerates programmed cell death. *Cell* 74, 609-619
- O'REILLY LA, PRINT C, HAUSMANN G, MORIISHI K, CORY S, HUANG DC, STRASSER A

- (2001): Tissue expression and subcellular localization of the pro-survival molecule Bcl-w. *Cell Death Differ.* 8, 486-94
- OZTURK SS, RILEY MR, PALSSON BO (1992): Effects of ammonia and lactate on hybridoma growth, metabolism, and antibody production. *Biotechnol. Bioeng.* 39, 418-431
- PARDEE AB (1989): G1 events and regulation of cell proliferation. *Science* 246, 603-608
- PAREDES C (1998): Anàlisi i redistribució dels fluxos metabòlics en cèl·lules animals. Tesi Doctoral, Universitat Autònoma de Barcelona
- PAREDES C, PRATS E, CAIRÓ JJ, CORNUDELLA L, GÒDIA F (1999): Modification of glucose and glutamine metabolism in hybridoma cells through metabolic engineering. *Cytotechnol.* 30, 85-93
- PAREDES C, SANFELIU A, CARDENAS F, CAIRÓ JJ, GÒDIA F (1998): Estimation of the intracellular fluxes for a hybridoma cell line by material balances. *Enz. Micr. Tech.* 23, 187-198
- PASSINI CA, GOUCHEE CF (1989): Response of a mouse hybridoma cell line to heat shock, agitation and sparging. *Biotechnol. Prog.* 5, 175-188
- PASTORINI JG, SIMBULA G, YAMAMOTO K, GLASCOTT PA, ROTHMAN RJ, FARBER GL (1996): The cytotoxicity of tumor necrosis factor depends on induction of the mitochondrial permeability transition. *J. Biol. Chem.* 271, 29792-29798
- PELEGATA NS, ANTONIONO RJ, REDPATH JL, STANBRIDGE E (1996): DNA damage and p53-mediated cell cycle arrest: A reevaluation. *PNAS* 93, 15209-15214
- PEÑA J (1998): *Inmunología*. Ed. Pirámide S.A. Madrid
- PERANI A, SINGH RP, CHAUHAN R, AL-RUBAI M (1998): Variable functions of bcl-2 in mediating bioeator stress-induced apoptosis in hybridoma cells. *Cytotechnol.* 28, 177-188
- PETER M, HERSKOWITZ I (1994): Joining the complex: cyclin-dependent kinase inhibitory proteins and the cell cycle. *Cell* 79, 181-184
- PETROS AM, MEDEK A, NETTESHEIM DG, KIM DH, YOON HS, SWIFT K, MATAYOSHI ED, OLTERSdorf T, FESIK SW (2001): Solution structure of the antiapoptotic protein bcl-2. *PNAS* 98, 3012-3017
- PORTER AG (1999): Protein translocation in apoptosis. *Trends Cell Biol.* 9, 394-401
- PRICE BJ (1987): Monoclonal antibodies: the coming revolution in diagnosis and treatment of human disease. *Ann. Otol. Rhinol. Laryngol.* 96, 497-504.
- RAFF M (1998): Cell suicide for beginners. *Nature* 396, 119-22
- REED JC (1997): Double identity for proteins of the Bcl-2 family. *Nature* 387, 773-776

REED JC (1998): Bcl-2 family proteins. *Oncogene* 17, 3225-3236

REED JC, PATERNOSTRO G (1999): Postmitochondrial regulation of apoptosis during heart failure. *PNAS* 96, 7614-7616

REED JC, ZHA H, AIME-SEMPE C, TAKAYAMA S, WANG H-G (1996): Structure-function analysis of Bcl-2 family proteins. Regulators of programmed cell death. Mechanisms of lymphocyte activation and immune regulation VI (ed. Gupta i Cohen), pp 99-112. Plenum Press, New York

REES S, COOTE J, STABLES J, GOODSON S, HARRIS S, LEE MG (1996): Bicistronic vector for the creation of stable mammalian cell lines that predisposes all antibiotic-resistant cells to express recombinant protein. *BioTechniques* 20, 102-110

REYNOLDS JE, LI J, CRAIG, EASTMAN A (1994): BCL-2 and MCL-1 expression in Chinese hamster ovary cells inhibits intracellular acidification and apoptosis induced by staurosporine. *Exp. Cell. Res.* 225, 430-436

REYNOLDS JE, YANG T, QIAN L, JENKINSON JD, ZHOU P, EASTMAN A, CRAIG RW (1994): Mcl-1, a member of the Bcl-2 family, delays apoptosis induced by c-Myc overexpression in Chinese hamster ovary cells. *Cancer Res.* 54, 6348-6352

RIEDL SJ, RENATUS M, SCHWARZENBACHER R, ZHOU Q, SUN C, FESIK SW, LIDDINGTON RC, SALVESEN GS (2001): Structural Basis for the Inhibition of Caspase-3 by XIAP *Cell* 104, 791-800

ROBINSON DK, SEAMANS TC, GOULD SL, DISTEFANO DJ, CHAN CP, LEE DK, BIBILA T, GLAZOMITSKY K, MUNSHI S, DOUGHERTY B, O'NEIL-PALLADINO L, STAFFORD-HOLLIS J, HOLLIS GF, SILBERKLANG M (1994): Optimization of a fed-batch process for production of a recombinant antibody. *Ann. N.Y. Acad. Sci. Proceedings of the Biochemical Engineering VIII Engineering Foundation Conference*

ROSSÉ T, OLIVIER R, MONNEY L, RAGER M, CONUS S, FELLAY I, JANSEN B, BORNER C (1998): Bcl-2 prolongs cell survival after Bax-induced release of cytochrome c. *Nature* 391, 496-499

ROY N, MAHADEVAN MS, MCLEAN M, SHUTLER G, YARAGHI Z, FARAHANI R, BAIRD S, BESNER-JOHNSTON A, LEFEBVRE C, KANG X (1995): The gene for neuronal apoptosis inhibitory protein is partially deleted in individuals with spinal muscular atrophy. *Cell* 80, 167-178

SAKAHIRA H, ENARI M, NAGATA S (1998): Cleavage of CAD inhibitor in CAD activation and DNA degradation during apoptosis. *Nature* 391, 96-99

SAKAMURO D, SABBATINI P, WHITE E, PRENDERGAST GC (1997): The polyproline region of p53 is required to activate apoptosis but not growth arrest. *Oncogene* 15, 887-898

SAMBROOK J, FRITSCH EF, MANIATIS T (1989): *Molecular Cloning: A Laboratory Manual*, 2<sup>nd</sup> ed. Cold Spring Harbour Laboratory, Cold Spring Harbour, New York

SANFELIU A (1995): *Producció d'anticossos monoclonals mitjançant el cultiu in vitro d'hibridomes en bioreactors: anàlisi de la fisiologia i metabolisme cel·lulars.* Tesi Doctoral. Universitat Autònoma de Barcelona

SANFELIU A, CAIRÓ JJ, CASAS C, SOLÀ C, GÒDIA F (1996): Analysis of nutritional factors and physical conditions affecting growth and monoclonal antibody production of the hybridoma KB-26.5 cell line. *Biotechnol. Prog.* 12, 209-216

SANFELIU A, PAREDES C, CAIRÓ JJ, GÒDIA F (1997): Identification of key patterns in the metabolism of hybridoma cells in culture. *Enz. Micr. Tech.* 21, 421-428

SANFELIU A, STEPHANOPOULOS G (1999): Effect of glutamine limitation on the death of attached chinese hamster ovary cells. *Biotech. Bioeng.* 64, 46-53

SCARLETT JL, MURPHY MP (1997): Release of apoptogenic proteins from the mitochondrial intermembrane space during the mitochondrial permeability transition. *FEBS Lett.* 418, 282-286

SCHLOKAT U, HIMMELSPACH M, FALKNER FG, DORNER F (1997): Permanent gene expression in mammalian cells: gene transfer and selection. En *Mammalian Cell Biotechnology in Protein Production* (Hauser H i Wagner R, eds.), De Gruyter, Berlin 33-63

SCHMID RD, KÜNNECKE W (1990): Flow injection analysis (FIA) based on enzymes or antibodies applications in the life sciences. *J. Biotechnol.* 14, 3-31

SCHWARTZ S Jr, YAMAMOTO H, NAVARRO M, MAESTRO M, REVENTÓS J, PERUCHO M (1999): Frameshift mutations at mononucleotide repeats in caspase-5 and other target genes in endometrial and gastrointestinal cancer of the microsatellite mutator phenotype. *Cancer Res.* 59, 2995-3002

SEIFERT DB, PHILLIPS JA (1999): The production of monoclonal antibody in growth-arrested hybridomas cultivated in suspension and immobilized modes. *Biotechnol. Prog.* 15, 655-666

SHANKAR AH, PRASAD AS (1998): Zinc and immune function: the biological basis of altered resistance to infection. *Am. J. Clin. Nutr.* 68 (supple), 447S-463S

SHER CJ (1994): G1 phase progression: cycling on cue. *Cell* 79, 551-555

SHER CJ, ROBERTS JM (1995): Inhibitors of mammalian G1 cyclin-dependent kinases. *Genes Develop.* 9, 1149-1163

SIMPSON NH, MILNER AN, AL-RUBEAI M (1997): Prevention of hybridoma cell death by bcl-2 during sub-optimal culture conditions. *Biotechnol. Bioeng.* 54, 1-16

SIMPSON NH, SINGH P, EMERY AN, AL-RUBEAI M (1998a): Bcl-2 over-expression reduces growth rate and prolongs G1 phase in continuous chemostat cultures of hybridoma cells. *Biotechnol. Bioeng.* 64, 174-186

SIMPSON NH, SINGH P, PERANI A, GOLDENZON C, AL-RUBEAI M (1998b): In hybridoma cultures, deprivation of any single amino acid leads to apoptotic death, which is suppressed by the expression of the *bcl-2* gene. *Biotechnol. Bioeng.* 59, 90-98

SINGH RP, AL-RUBEAI M, GREGORY CD, EMERY AN (1994): Cell death in bioreactors: a role for apoptosis. *Biotechnol. Bioeng.* 44, 720-726

SINGH RP, EMERY AN, AL-RUBEAI M (1996): Enhancement of survivability of mammalian cells by over expression of the apoptosis suppressor gene *bcl-2*. *Biotechnol. Bioeng.* 52, 166-175

SLEE EA, ADRAIN C, MARTIN SJ (1999): Serial killers: ordering caspase activation events in apoptosis. *Cell Death Differ.* 6, 1067-1074

SLEE EA, COLIN A, MARTIN SJ (2001): Executioner Caspase-3, -6, and -7 perform distinct, non-redundant roles during the demolition phase of apoptosis. *J. Biol. Chem.* 276, 7320-7326

SLEE EA, HARTE MT, KLICK RM, WOLF BB, CASIANO CA, NEWMEYER DD, WANG H, REED JC, NICHOLSON DW, ALNEMRI ES, GREEN DR, MARTIN SJ (1999): Ordering the Cytochrome c-initiated Caspase Cascade: Hierarchical Activation of Caspases-2, -3, -6, -7, -8 and-10 in a Caspase-9 –dependent Manner. *J. Cell Biol.* 144, 281-292

SRIVASTAVA RK, SRIVASTAVA AR, KORSMEYER SJ, NESTEROVA M, CHO-CHUNG YS, LONGO DL (1998): Involvement of microtubules in he regulation of Bcl-2 phosphorylation and apoptosis through cyclic AMP-dependent protein kinase. *Mol. Cel. Biology* 18, 3509-3517

STENNICKE HR, SALVESEN GS (1997): Biochemical characteristics of Caspases-3, -6, -7, and -8. *J. Biol. Chem.* 272, 25719-25723

STENNICKE HR; SALVESEN GS (1998): Properties of the caspases. *Biochem. Biophys. Acta* 1387, 17-31

STENNICKE HR; SALVESEN GS (2000): Caspases – controlling intracellular signals by protease zymogen activation. *Biochem. Biophys. Acta* 147, 299-306

STRASSER A, O'CONNOR L, DIXIT VM (2000): Apoptosis signaling. *Annu. Rev. Biochem.* 69, 217-45

STRYER L (1995): *Bioquímica. 4<sup>a</sup> ed.* Ed. Reverté S.A., Barcelona

STURM I, KOHNE CH, WOLFF G, PETROWSKY H, HILLEBRAND T, HAUPTMANN S, LORENZ M, DORKEN B, DANIEL PT (1999): Analysis of the p53/BAX pathway in colorectal cancer: low BAX is a negative prognostic factor in patients with resected liver metastases. *J. Clin. Oncol.* 17, 1364

SUN C, CAI M, GUNASEKERA AH, MEADOWS RP, WANG H, CHEN J, ZHANG H, WU W, XU N, NG SC, FESIK SW (1999): NMR structure and mutagenesis of the inhibitor-of-apoptosis protein XIAP. *Nature.* 401, 818-822

SUN C, CAI M, MEADOWS RP, XU N, GUNASEKERA AH, HERRMANN J, WU JC, FESIK SW. (2000): NMR structure and mutagenesis of the third Bir domain of the inhibitor of apoptosis protein XIAP. *J. Biol. Chem.* 275, 33777-33781

SURESHKUMAR GK, MUTHARASAN R (1991): The influence of temperature on a mouse-mouse hybridoma growth and monoclonal antibody production. *Biotechnol. Bioeng.* 37, 292-295

SUSIN SA, ZAMZAMI N, KROEMER G (1998): Mitochondria as regulators of apoptosis: doubt no more. *Biochim. Biophys. Acta* 1366, 151-165

SUZUKI E, OLLIS DF (1990): Enhanced antibody production at slowed growth rates: experimental demonstration and a simple structured model. *Biotechnol. Prog.* 6, 231-236

SUZUKI M, YOULE RJ, TJANDRA N (2000): Structure of Bax: coregulation of dimer formation and intracellular localization. *Cell* 103, 645-654

TAKAHASHI A, ALNEMRI ES, LAZEBNIK YA, FERNANDES-ALNEMRI T, LITWACK G, MOIR RD, GOLDMAN RD, POIRIER GG, KAUFMANN SH, EARNSHAW WC (1996): Cleavage of lamin A by Mch2 alpha but not CPP32: multiple interleukin 1 beta-converting enzyme-related proteases with distinct substrate recognition properties are active in apoptosis. *PNAS* 93, 8395-400

TAKAHASHI K, TERADA S, UEDA H, MAKISHIMA F, SUZUKI E (1994): Growth rate suppression of cultured mammalian cells enhances protein productivity. *Cytotechnol.* 12, 1-18

TANAKA ST, LOUIE DC, KANT JA, REED JC (1992): Frequent incidence of somatic mutations in translocated BCL2 oncogenes of non-hodgkin's lymphomas. *Blood* 79, 229-237

TERADA S, KOMATSU T, FUJITA T, TERAKAWA A, NAGAMUNE T, TAKAYAMA S, REED JC, SUZUKI E (1999): Co-expression of bcl-2 and bag-1, apoptosis suppressing genes, prolonged viable culture period of hybridoma and enhanced antibody production. *Cytotechnol.* 31, 141-149

THORNBERRY NA (1999): Caspases: A decade of death research. *Cell Death Differ.* 6, 1023-1027

THORNBERRY NA, CHAPMAN KT, NICHOLSON DW (2000): Determination of caspase specificities using a peptide combinatorial library. *Meth. Enz.* 322, 100-110

THORNBERRY NA, LABZEBNIK Y (1998): Caspases: enemies within. *Science* 281, 1312-1316

THORNBERRY NA, RANO TA, PETERSON EP, RASPER DM, TIMKEY T, GARCIA-CALVO M, HOUTZAGER VM, NORDSTROM PA, ROY S, VAILLANCOURT JP, CHAPMAN KT, NICHOLSON DW (1997): A combinatorial approach defines specificities of members of the caspase family and granzyme B. Functional relationships established for key mediators of apoptosis. *J. Biol. Chem.* 272, 17907-17911

TINTÓ A (1999): Millora de cultius in vitro d'hibridomes mitjançant el desenvolupament d'un sistema de perfusió i la inhibició de la mort cel·lular programada. Tesi doctoral, Universitat

Autònoma de Barcelona

TINTÓ A, CAIRÓ JJ, TELLO R, VILA P, GÒDIA F (1997): Apoptosis in hybridoma cells and its prevention by gene expression control, *European Workshop on Animal Cell Engineering*, Platja d'Aro, Spain

TINTÓ A, GABERNET C, VIVES J, PRATS E, CORNUDELLA L, CAIRÓ JJ, GÒDIA F (1999): Caracterització morfològica del procés d'apoptosi en una línia cel·lular d'hibridoma. I Jornades de Microscòpia Confocal de la UAB. Servei de Microscòpia Electrònica. Bellaterra, UAB

TOYOSHIMA H, HUNTER T (1994): p27, a novel inhibitor of G1 cyclin-cdk protein kinase activity, is related to p21. *Cell* 78, 67-74

ULRICH E, KAUFFMANN-ZEH A, HUEBER AO, WILLIAMSON J, CHITTENDEN T, MA A, EVAN G (1997): Gene structure, cDNA sequence, and expression of murine Bak, a proapoptotic Bcl-2 family member. *Genomics* 44, 195-200

UREN AG., PAKUSCH M., HAWKINS CJ, PULS KL., VAUX DL. (1996): Cloning and expression of apoptosis inhibitory protein homologs that function to inhibit apoptosis and/or bind tumor necrosis factor receptor-associated factors. *PNAS* 93, 4974-4978

VAN DE CRAEN, VAN LOO G, PYPE S, VAN CRIEKINGE W, VAN DEN BRANDE I, MOLEMANS F, FIERS W, DECLERCQ W, VANDENABEELE P (1998): Identification of a new caspase homologue: caspase-14. *Cell Death Differ.* 5, 838-846

VARFOLOMEV EE, SCHUCHMANN M, LURIA V, CHIANNILKULCHAI N, BECKMANN JS, METT IL, REBRIKOV D, BRODIANSKI VM, KEMPER OC, KOLLET O, LAPIDOT T, SOFFER D, SOBE T, AVRAHAM KB, GONCHAROV T, HOLTMANN H, LONAI P, WALLACH D (1998): Targeted disruption of the mouse Caspase 8 gene ablates cell death induction by the TNF receptors, Fas/Apo1, and DR3 and is lethal prenatally. *Immunity* 9, 267-76

VAUX DL, CORY S, ADAMS JM (1988): Bcl-2 gene promotes haemopoietic cell survival and cooperates with c-myc to immortalize pre-B-cells. *Nature* 335, 440-442

VERBERT A (1996): The fascinating challenge to mimic nature in producing recombinant glycoproteins. *Chimica oggi.* 14, 9-14

VIVES J (1999): Modulació del flux glucolític en cèl·lules d'hibridoma mitjançant una estratègia de RNA antisentit. Treball experimental de Màster, Universitat Autònoma de Barcelona

VIVES J, GABERNET C, PRATS E, CAIRÓ JJ, CORNUDELLA L, GÒDIA F (2001a): Genetic strategies for apoptosis protection of hybridoma cells based on expression of cellular and viral proteins. 17<sup>th</sup> ESACT Meeting, *Animal cell technology: from target to market* (Lindner-Olsson E., ed.). Kluwer Academic Publishers, Tylösand (Sweden)

VIVES J, JUANOLA S, GABERNET C, PRATS E, CAIRÓ JJ, CORNUDELLA L, GÒDIA F (2001b): Estratègies genètiques basades en la sobreexpressió de proteïnes endògenes i víriques per

inhibir l'apoptosi en cèl·lules d'hibridoma. XVIII Jornades de Biologia Molecular i del Desenvolupament de la Societat Catalana de Biologia, Canet de Mar (Spain)

WALDMANN TA (1991): Monoclonal antibodies in diagnosis and therapy. *Science* 252, 1657-1662

WANG E, MARCOTTE R, PETROULAKIS E (1999a): Signaling pathway for apoptosis: a racetrack for life or death. *J. Cell. Biochem. Suppl.* 32/33, 95-102

WANG W, POST JI, DOW KE, SHIN SH, RIOPELLE RJ, ROSS GM (1999b): Zinc and Copper inhibit nerve growth factor-mediated protection from oxidative stress-induced apoptosis. *Neuroscience Lett.* 259, 115-118

WEINBERG RA (1995): The retinoblastoma protein and cell cycle control. *Cell* 81, 323-330

WERNER RG, WALZ F, NOÉ W, KONRAD A (1992): Safety and economic aspects of continuous mammalian cell cultures. *J. Biotechnol.* 22, 51-68

WOO RW, MCLURE KG, LEES-MILLER SP, RANCOURT DE, LEE PWK(1998): DNA-dependent protein kinase acts upstream of p53 in response to DNA damage. *Nature* 394, 700-704

WURM F, BERNARD A (1999): Large-scale transeint expression in mammalian cells for recombinant protein production. *Cur. Op. Biotechnol.* 10, 156-159

WYLLIE AH (1980): Glucocorticoid-induced thymocyte apoptosis is associated with endogenous nuclease activation. *Nature* 284, 555-556

XIE L, WANG DIC (1994a): Fed-batch cultivation of animal cells using different medium design concepts and feeding estrategies. *Biotechnol. Bioeng.* 43, 1175-1189

XIE L, WANG DIC (1994b): Applications of improved stoichiometric model in medium design and fed-batch cultivation of animal cells in bioreactor. *Cytotechnol.* 15, 17-19

YAMAMOTO K, ICHIJO H, KORSMEYER SJ (1999): BCL-2 is phosphorylated and inactivated by an ASK1/Jun N-terminal protein kinase pathway normally activated at G<sub>2</sub>/M. *Mol. Cel. Biol.* 19, 8469-8478

YAN W, SAMSON M, JEGOU B, TOPPARI J (2000): Bcl-w forms complexes with Bax and Bak, and elevated ratios of Bax/Bcl-w and Bak/Bcl-w correspond to spermatogonial and spermatocyte apoptosis in the testis. *Mol. Endocrinol.* 14, 682-99

YANG J, LIU X, BHALLA K, KIM CN, IBRADO AM, CAI J, PENG T, JONES DP, WANG X (1997): Prevention of Apoptosis by Bcl-2: Release of Cytochrome c from Mitochondria Blocked. *Science* 275, 1129-1136

YELTON DE, SCHARFF MD (1981): Monoclonal antibodies: a powerful new tool in biology and medicine. *Ann. Rev. Biochem.* 50, 657-680

YOKOTE H, TERADA T, MATSUMOTO H, KAKISHITA K, KINOSHITA Y, NAKAO N,

- NAKAI K, ITAKURA T (2000): Dephosphorylation-induced decrease of anti-apoptotic function of Bcl-2 in neuronally differentiated P19 cells following ischemic insults. *Brain Res.* 857, 78-86
- YUAN J (1995): Molecular control of life and death. *Curr, Opin, Cell Biol.* 7, 211-214
- ZHANG Z (1998): Destabilization of beta-catenin by mutations in presenilin-1 potentiates neuronal apoptosis. *Nature* 395, 698-702
- ZHOU P, QIAN L, KOZOPAS KM, CRAIG RW (1997): Mcl-1, a Bcl-2 family member, delays the death of hematopoietic cells under a variety of apoptosis-inducing conditions. *Blood* 89, 630-643
- ZHOU W, REHM J, HU W (1995): High viable cell concentration fed-batch cultures of hybridoma cells through on-line nutrient feeding. *Biotechnol. Bioeng.* 46: 579-587
- ZHUANG J, DINSDALE D, COHEN GM (1998): Apoptosis, in human monocytic THP.1 cells, results in the release of cytochrome c from mitochondria prior to their ultracondensation, formation of outer membrane discontinuities and reduction in inner membrane potential. *Cell. Death Differ.* 5, 953-962

---

# **ABREVIATURES I SÍMBOLS**

---

## ABREVIATURES I SÍMBOLS

---

<b>%GC</b>	percentatge de les bases nitrogenades Guanina i Citosina en una seqüència nucleotídica
<b><sup>35</sup>S</b>	Sofre isòtop 35
<b>A</b>	Adenina
<b>A<sub>230</sub></b>	Absorbància a 230 nm
<b>A<sub>260</sub></b>	Absorbància a 260 nm
<b>A<sub>280</sub></b>	Absorbància a 280 nm
<b>aa</b>	aminoàcid
<b>Ac-DEVD-cmk</b>	Acetil-Asp-Glu-Val-Asp-clorometilcetona
<b>AcNPV</b>	Virus de la polihedrosi nuclear d' <i>Autographa californica</i>
<b>AIF</b>	<i>Apoptosis Inductor Factor</i>
<b>Ala</b>	Alanina
<b>ANT</b>	<i>Adenine Nucleotide Translocator</i>
<b>Apaf-1</b>	<i>Apoptotic protease activating factor 1</i>
<b>Arg</b>	Arginina
<b>Asn</b>	Asparragina

---

<b>Asp</b>	Àcid aspàrtic
<b>ATP</b>	5'-trifosfat d' Adenosina
<b>BH</b>	<i>Bcl-2 homology domains</i>
<b>BHRF1</b>	Proteïna inhibidora de l'apoptosi del virus d'Epstein-Barr
<b>BSA</b>	Albúmina de sèrum boví
<b>C</b>	Citosina
<b>CAD</b>	<i>Caspase Activated DNase</i>
<b>CAK</b>	<i>Cdk Activating Kinase</i>
<b>CARD</b>	<i>Caspase Recruitment Domain</i>
<b>Cdk</b>	<i>Cyclin Dependent Kinases</i>
<b>Cdki</b>	<i>CDK Inhibitors</i>
<b>cDNA</b>	DNA complementari
<b>CED</b>	<i>Caenorhabditis elegans cell death gene</i>
<b>CIP</b>	Fosfatasa alcalina
<b>Cys</b>	Cisteïna
<b>dATPs</b>	Trifosfat de desoxiadениna
<b>dCTPs</b>	Trifosfat de desoxicitosina
<b>DD</b>	<i>Death Domain</i>
<b>DED</b>	<i>Death Effector Domain</i>
<b>DEPC</b>	Dietilpirocarbonat
<b>dGTP</b>	Trifosfat de desoxiguanina
<b>DMEM</b>	Medi d'Eagle modificat per Dulbecco
<b>DMRIE-C</b>	bromur de (1,2-dimeiristiloxipropil-3-dimetil-hidroxietilamoni) en una formulació liposòmica contenint colesterol
<b>DMSO</b>	Dimetilsulfòxid
<b>DNA</b>	Àcid desoxiribonucleic
<b>dNTP</b>	5'-trifosfat de desoxinucleòtid
<b>DTT</b>	Ditiotreitol
<b>dTTP</b>	Trifosfat de desoxitimina
<b>dUTP</b>	Trifosfat de desoxiuracil
<b>EDTA</b>	Àcid etilendiaminotetraacètic
<b>EGF</b>	<i>Epidermis Growth Factor</i>
<b>ELISA</b>	<i>Enzyme Linked Immunosorbent Assay</i>

<b>EMCV</b>	Virus de l'encefalomiocarditis
<b>FCS</b>	Sèrum fetal de vedella
<b>FGF</b>	<i>Fibroblast Growth Factor</i>
<b>G</b>	Guanina
<b>Gln</b>	Glutamina
<b>Glu</b>	Àcid glutàmic
<b>Gly</b>	Glicina
<b>h</b>	hora
<b>HEPES</b>	Àcid N-2-hidroxietilpirazina-N'-3-propasulfònic
<b>HHV8</b>	Herpesvirus 8 humà
<b>His</b>	Histidina
<b>HPLC</b>	Cromatografia líquida de pressió elevada
<b>IAP</b>	<i>Inhibitor Apoptosis Protein</i>
<b>ICAD</b>	<i>Inhibitor of CAD</i>
<b>K<sub>i</sub></b>	constant d'inhibició
<b>kDa</b>	quilodalton
<b>KS</b>	Sarcoma de Kaposi
<b>MAb</b>	<i>Anticòs monoclonal</i>
<b>mRNA</b>	RNA missatger
<b>N</b>	Necròtiques
<b>NCBI</b>	National Center for Biotechnology Information
<b>NVA</b>	No viables apoptòtiques
<b>O<sub>2</sub></b>	Oxigen
<b>OPA</b>	o-ftalaldehid
<b>PAGE</b>	Electroforesi en gel de poliacrilamida
<b>PARP</b>	Polimerasa de ploi-ADP-ribosa
<b>pb</b>	parell de bases
<b>PBS</b>	Dissolució salina tamponada amb fosfats
<b>PCD</b>	<i>Programmed Cell Death</i>
<b>PCR</b>	Reacció en cadena de la polimerasa
<b>PDGF</b>	<i>Platelet Differentiation Growth Factor</i>
<b>pol</b>	Polimerasa
<b>pRB</b>	Proteïna de Retinoblastoma

<b>PT</b>	<i>Mitochondrial Permeability Transition Pore</i>
<b>RNA</b>	Àcid ribonucleic
<b>RT-PCR</b>	Reacció en cadena de la polimerasa amb transcripció inversa prèvia
<b>SDS</b>	Lauril sulfat sòdic
<b>SDS-PAGE</b>	Electroforesi en gel de poliacrilamida contenint SDS
<b>Ser</b>	Serina
<b>T</b>	Timina
<b>TAE</b>	Tampó Tris-Acètic-EDTA
<b>TBE</b>	Tampó Tris-Bòric-EDTA
<b>TdT</b>	Transferasa desoxinucleotídica terminal
<b>TGF-β</b>	<i>Transforming Growth Factor β</i>
<b>THF</b>	Tetrahidrofurà
<b>Thr</b>	Treonina
<b>TNF</b>	<i>Tumor Necrosis Factor</i>
<b>TRIS</b>	Tris[hidroximetil]- aminometà
<b>TUNEL</b>	<i>TdT-mediated X-dUTP nick end labeling</i>
<b>Tyr</b>	Tirosina
<b>VA</b>	Viables apoptòtiques
<b>Val</b>	Valina
<b>VDAC</b>	<i>Voltage Dependent Anion Channel</i>
<b>VEB</b>	Virus Epstein Barr
<b>VNA</b>	Viables no apoptòtiques
<b>X-IAP</b>	<i>X-linked inhibitor of apoptosis</i>
<b>z-VAD-fmk</b>	N-benzoxicarbonil-Val-Ala-Asp-fluorometilcetona
<b>z-YVAD-cmk</b>	N-benzoxicarbonil-Tyr-Val-Ala-Asp-clorometilcetona
<b>ΔΨm</b>	Potencial mitocondrial de transmembrana

---

# **ANNEXOS**

---

## **ANNEX A**

## SEQÜÈNCIES CODIFICANTS DELS mRNA DELS GENS ESTUDIATS

---

En aquest Annex es mostren, en primer lloc, els cDNAs que codifiquen per a proteïnes endògenes involucrades en la PCD (els gens protectors *bcl-2*, *bcl-x*, *bcl-w*, *mcl-1*, i *x-iap*; i els gens promotores: *bax*, *bak*, *caspasa 1*, *caspasa 2*, *caspasa 3*, i *caspasa 9*) i, seguidament, els cDNAs de proteïnes víriques protectores de l'apoptosi que també han estat estudiades en aquest treball (*bhrf-1*, *p35* i *ksbcl-2*). D'aquestes darreres: *bhrf-1* fou aïllat a partir d'una extracció de RNA<sub>TOT</sub> d'un limfoma de Burkitt transformat amb virus Epstein-Barr; la seqüència de la *p35* fou amplificada per PCR a partir d'una mostra de DNA genòmic del nucleopolihedrovírus *Autographa californica* cedida gentilment per la Dra. M. Carmen Vela (Ingenasa): la seqüència del *ksbcl-2* fou alliberada amb *Bgl* II d'un vector pSG-5 que contenia aquest cDNA amb un HA-tag en 5', cedit gentilment per la Dra. J-M. Hardwick (John Hopkin's Hospital). Per a cada seqüència, s'inclou el codi d'accés al GenBank i la zona de reconeixement dels encebadors emprats per a la seva amplificació per RT-PCR a partir del RNA total extret de mostres de l'hibridoma KB26.5. Les seqüències completes dels encebadors es troben a l'apartat 7.6.3. del capítol de Materials i Mètodes.

A N N E X A : SEQÜÈNCIES DELS GENS ESTUDIATS

---

**A1. bcl-2 (*Mus musculus*) Ref.: NM\_009741**

10            20            30            40            50            60            70            80            90  
**ATGGCGCAAG CCGGGAGAAC AGGGTATGAT AACCGGGAGA TCGTGATGAA GTACATACAT TATAAGCTGT CACAGAGGGG CTACGAGTGG**

100            110            120            130            140            150            160            170            180  
GATGCTGGAG ATGCGGACGC GGCGCCCCCTG GGGGCTGCC CCACCCCTGG CATCTTCTCC TTCCAGCCTG AGAGCAACCC AATGCCGCT

190            200            210            220            230            240            250            260            270  
GTGCACCGGG AGATGGCTGC CAGGACGTCT CCTCTCAGGC CCCTCGTTGC CACCGCTGGG CCTGCGCTCA GCCCTGTGCC ACCATGTGTC

280            290            300            310            320            330            340            350            360  
CATCTGACCC TCCGCCGGGC TGGGGATGAC TTCTCTCGTC GCTACCGTCG TGACTTCGCA GAGATGTCCA GTCAGCTGCA CCTGACGCC

370            380            390            400            410            420            430            440            450  
TTCACCGCGA GGGGACGCTT TGCCACGGTG GTGGAGGAAC TCTTCAGGGA TGGGGTGAAC TGGGGGAGGA TTGTGGCCTT CTTTGAGTTC

460            470            480            490            500            510            520            530            540  
GGTGGGGTCA TGTGTGTGGA GAGCGTCAAC AGGGAGATGT CACCCCTGGT GGACAACATC GCCCTGTGGA TGACTGAGTA CCTGAACCGG

550            560            570            580            590            600            610            620            630  
CATCTGCACA CCTGGATCCA GGATAACGGG GGCTGGGATG CCTTGTTGGA ACTATATGGC CCCAGCATGC GACCTCTGTT TGATTTCTCC

640            650            660            670            680            690            700            710            711  
TGGCTGTCTC TGAAGACCCT GCTCAGCCTG CCCTGGGTCG GGGCCTGCAT CACTCTGGGT GCAT**TACCTGG** **GCCACAAGTG** **A**

A N N E X A : SEQÜÈNCIES DELS GENS ESTUDIATS

---

**A2. *bcl-x* (*Mus musculus*) Ref.: M\_009743**

10	20	30	40	50	60	70	80	90
<b>ATGTCTCAGA</b>	<b>GCAACCGGGA</b>	GCTGGTGGTC	GA <del>T</del> TTCTCT	CCTACAAGCT	TTCCCAGAAA	GGATA <del>C</del> AGCT	GGAGTCAGTT	TAGTGATGTC
100	110	120	130	140	150	160	170	180
GAAGAGAATA	GGACTGAGGC	CCCAGAAAGAA	ACTGAAGCAG	AGAGGGAGAC	CCCCAGTGCC	ATCAATGGCA	ACCCATCCTG	GCACCTGGCG
190	200	210	220	230	240	250	260	270
GATAGGCCGG	CCGTGAATGG	AGCCACTGGC	CACAGCAGCA	GT <del>T</del> GGATGC	GC <del>G</del> GGGAGGTG	ATTCCCATGG	CAGCAGTGAA	GCAAGCGCTG
280	290	300	310	320	330	340	350	360
AGAGAGGCAG	GCGATGAGTT	TGA <del>A</del> CTGGG	TACCGGAGAG	CGTT <del>C</del> AGTGA	TCTAACATCC	CAGCTTCACA	TAACCC <del>C</del> AGG	GACCGCGTAT
370	380	390	400	410	420	430	440	450
CAGAGCTTTG	AGCAGGTAGT	GAATGAAC <del>T</del> C	TTTCGGGATG	GAGTAAACTG	GGGT <del>C</del> GCATC	GTGGCCTTTT	TCTCCTTTGG	CGGGC <del>A</del> CTG
460	470	480	490	500	510	520	530	540
TGCGTGGAAA	GCGTAGACAA	GGAGATGCAG	GTATTGGTGA	GTCGGATTGC	AAGTTGGATG	GCCACCTATC	TGAATGACCA	CCTAGAGCCT
550	560	570	580	590	600	610	620	630
TGGATCCAGG	AGAACGGCGG	CTGGGACACT	TTTGTGGATC	TCTACGGGAA	CAATGCAGCA	GCCGAGAGCC	GGAAAGGCCA	GGAGCGCTTC
640	650	660	670	680	690	700	710	713
AACC <del>G</del> CTGGT	TCCTGACGGG	CATGACTGTG	GCTGGTGTGG	TTCTGCTGGG	CTCACTCTTC	AGTCGG <b>AAGT</b>	<b>GACCAGACAC</b>	<b>TGA</b>

**A3. *bcl-w* (*Mus musculus*) Ref.: NM\_007537**

10	20	30	40	50	60	70	80	90
ATGGCGACCC	CAGCCTCAAC	CCCAGACACA	CGGGCTCTAG	TGGCTGACTT	TGTAGGCTAT	AAGCTGAGGC	AGAAGGGTTA	TGTCTGTGGA
100	110	120	130	140	150	160	170	180
GCTGGCCCTG	GGGAAGGCC	AGCCGCGAC	CCGCTGCACC	AAGCCATGCG	GGCTGCTGGA	GACGAGTTG	AGACCCGTTT	CCGCCGCACC
190	200	210	220	230	240	250	260	270
TTCTCTGACC	TGGCCGCTCA	GCTACACGTG	ACCCCAGGCT	CAGCCCAGCA	ACGCTTCACC	CAGGTTTCCG	ACGAACCTTT	CCAAGGGGGC
280	290	300	310	320	330	340	350	360
CCTAACTGGG	GCCGTCTTGT	GGCATTCTTT	GTCTTTGGGG	CTGCCCTGTG	TGCTGAGAGT	GTCAACAAAG	AAATGGAGCC	TTTGGTGGGA
370	380	390	400	410	420	430	440	450
CAAGTGCAGG	ATTGGATGGT	GGCCTACCTG	GAGACACGTC	TGGCTGACTG	GATCCACAGC	AGTGGGGGCT	GGGCGGAGTT	CACAGCTCTA
460	470	480	490	500	510	520	530	540
TACGGGGACG	GGGCCCTGGA	GGAGGCACGG	CGTCTGCAGGG	AGGGGAACGT	GGCATCAGTG	AGGACAGTG	TGACGGGGC	CGTGGCACTG
550	560	570	580			582		
GGGGCCCTGG	TAACGTAGG	GGCCTTTTTT	GCTAGCAAGT	GA	(*)			

(\*) Per l'amplificació d'aquest cDNA, es va emprar la seqüència 3' immediatament posterior al codó d'aturada del gen (veure la seqüència de l'encebador a l'apartat de Materials i Mètodes)

**A4. *mcl-1* (*Mus musculus*) Ref.: U35623**

10	20	30	40	50	60	70	80	90
ATGTTTGGCC	TGCGGAGAAA	CGCGGTCA	GGCTTGAA	TGTACTGC	CGCGGCCA	CTCGGCGC	GCGGCGG	TCCGGCAGGG
100	110	120	130	140	150	160	170	180
GCGCGCCTGG	TGGCGAGGA	GGCCAAGGCG	CGGCGCGAGG	GGGGAGGGGA	GGCCGCCCTG	CTGCCCGGCG	CGCGGGTGGT	CGCCCGGCCG
190	200	210	220	230	240	250	260	270
CCGCCCCGTGG	GCGCGAGGA	CCCCGACGTC	ACCGCGTC	CCGAAAGGCG	GCTGCATAAG	TCGCCCGGCC	TCCTCGCCGT	GCCGCCGAG
280	290	300	310	320	330	340	350	360
GAGATGGCCG	CGTCGGCCGC	CGCCGCCATC	GTGTCTCCGG	AGGAGGAACT	GGACGGCTGC	GAGCCGGAGG	CCATCGGCAA	GCGCCCGGCC
370	380	390	400	410	420	430	440	450
G TGCTGCC	TCCTGGAGCG	CGTGAGCGAG	GCGGCCAAGA	GCTCCGGGGC	CGACGGCTCT	CTGCCCTCCA	CGCCGCCGCC	GCCCAGGAG
460	470	480	490	500	510	520	530	540
GAAGAGGACG	ACCTATAACG	CCAGTCGCTG	GAGATCATCT	CGCGCTACTT	GCGGGAGCAG	GCGACCGGCT	CCAAGGACTC	GAAGCCTCTG
550	560	570	580	590	600	610	620	630
GGCGAGGC	CGCGGGCGG	CCGGAGAGCG	CTGGAGACCC	TGCGCGCGT	GGGCGACGGC	GTGCAGCGCA	ACCACGAGAC	GGCCTTCAG
640	650	660	670	680	690	700	710	720
GGCATGCTCC	GGAAACTGGA	CATTAAAAAC	GAAGGGCATG	TTAAATCTT	TTCTCGAGTA	ATGGTCCATG	TTTCAAAGA	TGGCGTAACA
730	740	750	760	770	780	790	800	810
AACTGGGCA	GGATTGTGAC	TCTTATTCT	TTCGGTGC	TTGTGGCAA	ACACTTAAAG	AGCGTAAACC	AAGAAAGCTT	CATCGAACCA
820	830	840	850	860	870	880	890	900
TTAGCAGAA	CTATCACAGA	TGTTCTTGTA	AGGACGAAAC	GGGACTGGCT	TGTCAAACAA	AGAGGCTGGG	ATGGGTTGT	GGAGTTCTTC
910	920	930	940	950	960	970	980	990
CACGTACAGG	ACCTAGAAGG	CGGCATCAGA	AATGTGCTGC	TGGCTTTG	GGGTGTTGCT	GGAGTAGGGG	CTGGTCTGGC	ATATCTAATA
996								
AGATAG	(*)							

(\*) Per a l'amplificació d'aquest cDNA, es va emprar la seqüència 3' immediatament posterior al codó d'aturada del gen (veure la seqüència de l'encebador a l'apartat de Materials i Mètodes)

A N N E X A : SEQÜÈNCIES DELS GENS ESTUDIATS

---

**A5. *bak* (*Mus musculus*) Ref.: NM\_007523**

10            20            30            40            50            60            70            80            90  
**ATGGCATCTG GACAAGGACC** AGGTCCCCCG AAGGTGGGCT GCGATGAGTC CCCGTCCCCCT TCTGAACAGC AGGTTGCCA GGACACAGAG

100            110            120            130            140            150            160            170            180  
GAGGTCTTTC GAAGCTACGT TTTTACCTC CACCAGCAGG AACAGGAGAC CCAGGGGCAG CGGCCTGCCA ACCCCGAGAT GGACAACCTG

190            200            210            220            230            240            250            260            270  
CCCCTGGAAC CCAACAGCAT CTTGGGTAG GTGGGTCGGC AGCTTGCTCT CATCGGAGAT GATATTAACC GGCGCTACGA CACAGAGTTC

280            290            300            310            320            330            340            350            360  
CAGAATTAC TAGAACAGCT TCAGCCCACA GCCGGGAATG CCTACGAACT CTTCACCAAG ATCGCCTCCA GCCTATTAA GAGTGGCATHC

370            380            390            400            410            420            430            440            450  
AGCTGGGCC GCGTGGTGGC TCTCCTGGC TTTGGCTACC GTCTGGCCCT GTACGTCTAC CAGCGTGGTT TGACCGGCTT CCTGGGCCAG

460            470            480            490            500            510            520            530            540  
GTGACCTGCT TTTTGGCTGA TATCATACTG CATCATTACA TCGCCAGATG GATCGCACAG AGAGGCGGTT GGGTGGCAGC CCTGAATTG

550            560            570            580            590            600            610            620            627  
CGTAGAGACC CCATCCTGAC CGTAATGGTG ATTTTGGTG TGTTCTGTT GGGCCAATTG GTGGTACACA GATT**TCTTCAG** **ATCATGA**

A N N E X A : SEQÜÈNCIES DELS GENS ESTUDIATS

---

**A6. *bax* (*Mus musculus*) Ref.: NM\_007527**

10            20            30            40            50            60            70            80            90  
**ATGGACGGGT** CCGGGGAGCA GCTTGGGAGC GGCGGGCCCA CCAGCTCTGA ACAGATCATG AAGACAGGGG CCTTTTGCT ACAGGGTTTC

100            110            120            130            140            150            160            170            180  
ATCCAGGATC GAGCAGGGAG GATGGCTGGG GAGACACCTG AGCTGACCTT GGAGCAGGCC CGCCAGGATG CGTCCACCAA GAAGCTGAGC

190            200            210            220            230            240            250            260            270  
GAGTGTCTCC GGCAGATTGG AGATGAAC TGATAGCAATA TGGAGCTGCA GAGGATGATT GCTGACGTGG ACACGGACTC CCCCCGAGAG

280            290            300            310            320            330            340            350            360  
GTCTTCTTCC GGGTGGCAGC TGACATGTT GCTGATGGCA ACTTCAACTG GGGCCGCGTG GTTGCCCTCT TCTACTTTGC TAGCAAAC TG

370            380            390            400            410            420            430            440            450  
GTGCTCAAGG CCCTGTGCAC TAAAGTGCCC GAGCTGATCA GAACCACATCAT GGGCTGGACA CTGGACTTCC TCCGTGAGCG GCTGCTTGTC

460            470            480            490            500            510            520            530            540  
TGGATCCAAG ACCAGGGTGG CTGGGAAGGC CTCCCTCCCT ACTTCGGGAC CCCCACATGG CAGACAGTGA CCATCTTGT GGCTGGAGTC

550            560            570            579  
CTCACCGCCT CGCTCACCAT CTGGAAAGAAG ATGGGG**CTGA**

A N N E X A : SEQÜÈNCIES DELS GENS ESTUDIATS

---

**A7. *x-iap* (*Mus musculus*) Ref.: U88990**

10	20	30	40	50	60	70	80	90
<b>ATGACTTTA ACAGTTTGAGGAACCTAGA ACTTTTGTAC TTGCAGACAC CAATAAGGAT GAAGAATTG TAGAAGAGTT TAATAGATTA</b>								
100	110	120	130	140	150	160	170	180
AAAACATTTG CTAACCTCCC AAGTAGTAGT CCTGTTTCAG CATCAACATT GGCGCGAGCT GGGTTCTTT ATACCGGTGA AGGAGACACC								
190	200	210	220	230	240	250	260	270
GTGCAATGTT TCAGTTGTCA TGCGGCAATA GATAGATGGC AGTATGGAGA CTCAGCTGTT GGAAGACACA GGAGAATATC CCCAAATTGC								
280	290	300	310	320	330	340	350	360
AGAGTTATCA ATGGTTTTA TTTTGAAAT GGTGCTGCAC AGTCTACAAA TCCTGGTATC CAAAATGGC AGTACAAATC TGAAAATCTG								
370	380	390	400	410	420	430	440	450
GTGGGAAATA GAAATCCTTT TGCCCCGTGAC AGGCCACCTG AGACTCATGC TGATTATCTC TTGAGAACTG GACAGGTTGT AGATATTC								
460	470	480	490	500	510	520	530	540
GACACCATAT ACCCGAGGAA CCCTGCCATG TGTAGTGAAG AAGCCAGATT GAAGTCATTT CAGAACTGGC CGGACTATGC TCATTTAAC								
550	560	570	580	590	600	610	620	630
CCCAGAGAGT TAGCTAGTGC TGGCCTCTAC TACACAGGGG CTGATGATCA AGTGCAATGC TTTTGTTGTG GGGGAAAAGT GAAAAATTGG								
640	650	660	670	680	690	700	710	720
GAACCCCTGTG ATCGTGCCTG GTCAGAACAC AGGAGACACT TTCCCAATTG CTTTTTTGTG TTGGGCCGGA ACGTTAATGT TCGAAGTGAA								
730	740	750	760	770	780	790	800	810
TCTGGTGTGA GTTCTGATAG GAATTTCCA AATTCAACAA ACTCTCCAAG AAATCCAGCC ATGGCAGAAAT ATGAAGCACG GATCGTTACT								
820	830	840	850	860	870	880	890	900
TTTGGAACAT GGACATCCTC AGTTAACAAAG GAGCAGCTTG CAAGAGCTGG ATTATATGCT TTAGGTGAAG GCGATAAAAGT GAAGTGCTTC								
910	920	930	940	950	960	970	980	990
CACTGTGGAG GAGGGCTCAC GGATTGGAAG CCAAGTGAAG ACCCCTGGGA CCAGCATGCT AAGTGCTACC CAGGGTGCAA ATACCTATTG								
1000	1010	1020	1030	1040	1050	1060	1070	1080
GATGAGAAGG GGCAAGAATA TATAAAATAAT ATTCAATTAA CCCATCCACT TGAGGAATCT TTGGGAAGAA CTGCTGAAAA AACACCACCG								
1090	1100	1110	1120	1130	1140	1150	1160	1170
CTAACTAAAA AAATCGATGA TACCATCTTC CAGAACCTCTA TGGTGCAAGA AGCTATACGA ATGGGATTAA GCTTCAAGGA CCTTAAGAAA								
1180	1190	1200	1210	1220	1230	1240	1250	1260
ACAATGGAAG AAAAATCCA AACATCCGGG AGCAGCTATC TATCACTTGA GGTCTGTGATT GCAGATCTTG TGAGTGCTCA GAAAGATAAT								
1270	1280	1290	1300	1310	1320	1330	1340	1350
ACGGAGGATG AGTCAGTCA AACTTCATTG CAGAAAGACA TTAGTACTGAGA AGAGCAGCTA AGGCGCCTAC AAGAGGAGAA GCTTCCAAA								
1360	1370	1380	1390	1400	1410	1420	1430	1440
ATCTGTATGG ATAGAAATAT TGCTATCGTT TTTTTCCCTT GTGGACATCT GGCCACTTGT AAACAGTGTG CAGAAGCAGT TGACAAATGT								
1450	1460	1470	1480	1490	1491			
CCCATGTGCT ACACCGTCAT TACGTTCAAC CAAAAAATTG TTATGTCTTA G								

**A8. caspase 1 (*Mus musculus*) Ref.: L28095**

10	20	30	40	50	60	70	80	90
<b>ATGGCTGACA</b>	<b>AGATCCTGAG</b>	GGCAAAGAGG	AAGCAATTAA	TCAACTCAGT	GAGTATAGGG	ACAATAAATG	GATTGTTGGA	TGAACCTTTA
100	110	120	130	140	150	160	170	180
GAGAAGAGAG	TGCTGAATCA	GGAAGAAATG	GATAAAATAA	AACTTGCAAA	CATTACTGCT	ATGGACAAGG	CACGGGACCT	ATGTGATCAT
190	200	210	220	230	240	250	260	270
GTCTCTAAAA	AAGGGCCCCA	GGCAAGCCAA	ATCTTTATCA	CTTACATTG	TAATGAAGAC	TGCTACCTGG	CAGGAATTCT	GGAGCTTCAA
280	290	300	310	320	330	340	350	360
TCAGCTCCAT	CAGCTGAAAC	ATTTGTTGCT	ACAGAAGATT	CTAAAGGAGG	ACATCCTTCA	TCCTCAGAAA	CAAAGGAAGA	ACAGAACAAA
370	380	390	400	410	420	430	440	450
GAAGATGGCA	CATTTCCAGG	ACTGACTGGG	ACCCTCAAGT	TTTGCCTTT	AGAAAAAGCC	CAGAAGTTAT	GGAAAGAAAA	TCCTTCAGAG
460	470	480	490	500	510	520	530	540
ATTATATCCAA	TAATGAATAC	AACCACTCGT	ACACGTCTTG	CCCTCATTAT	CTGCAACACA	GAGTTCAAC	ATCTTTCTCC	GAGGGTTGGA
550	560	570	580	590	600	610	620	630
GCTCAAGTTG	ACCTCAGAGA	AATGAAGTTG	CTGCTGGAGG	ATCTGGGTA	TACCGTGAAA	GTGAAAGAAA	ATCTCACAGC	TCTGGAGATG
640	650	660	670	680	690	700	710	720
GTGAAAGAGG	TGAAAGAATT	TGCTGCCTGC	CCAGAGCACA	AGACTTCTGA	CAGTACTTTC	CTTGTATTCA	TGTCTCATGG	TATCCAGGAG
730	740	750	760	770	780	790	800	810
GGAAATATGTG	GGACCACATA	CTCTAATGAA	GTTCAGATA	TTTAAAGGT	TGACACAATC	TTTCAGATGA	TGAACACTTT	GAAGTGCCCA
820	830	840	850	860	870	880	890	900
AGCTTGAAAG	ACAAGCCAA	GGTGATCATT	ATTCAGGCAT	GCCGTGGAGA	GAAACAAGGA	GTGGTGTGT	TAAAAGATTG	AGTAAGAGAC
910	920	930	940	950	960	970	980	990
TCTGAAGAGG	ATTCTTAAC	GGATGCAATT	TTTGAAGATG	ATGGCATTAA	GAAGGCCAT	ATAGAGAAAG	ATTTTATTGC	TTTCTGCTCT
1000	1010	1020	1030	1040	1050	1060	1070	1080
TCAACACCAG	ATAATGTGTC	TTGGAGACAT	CCTGTCAGGG	GCTCACTTTT	CATTGAGTCA	CTCATCAAAC	ACATGAAAGA	ATATGCCTGG
1090	1100	1110	1120	1130	1140	1150	1160	1170
TCTTGTGACT	TGGAGGACAT	TTTCAGAAAG	GTTCGATTTT	CATTGAAACA	ACCAGAATT	AGGCTACAGA	TGCCCACTGC	TGATAGGGTG
1180	1190	1200	1209					
ACCCCTGACAA	AACGTTCTA	<b>CCTCTTCCCG</b>	<b>GGACATTAA</b>					

A N N E X A : SEQÜÈNCIES DELS GENS ESTUDIATS

---

**A9. caspase 2 (*Mus musculus*) Ref.: NM\_007610**

10	20	30	40	50	60	70	80	90
ATGGCGGCCG	CGAGCGGGAG	GTCGCAGTCC	TCCCTGCACA	GGAAGGGGCT	GATGGCGGCT	GACAGGAGGA	GCAGGATTTC	GGCAGTGTGT
100	110	120	130	140	150	160	170	180
GGAATGCATC	CTGACCACCA	GGAAACACTG	AAAAAGAACATC	GAGTGGTGCT	GGCCAAGCAG	CTGCTGCTGA	GCGAGCTGTT	AGAACACCTC
190	200	210	220	230	240	250	260	270
CTAGAGAAGG	ACATTATCAC	TTTGGAAATG	AGGGAGCTCA	TCCAGGCCAA	AGGGGGCAGT	TTCAGCCAGA	ATGTGGAACT	CCTCAACCTG
280	290	300	310	320	330	340	350	360
CTGCCAAAGA	GAGGACCCC	GGCTTTGAT	GCCTTCTGTG	AAGCCCTGCG	GGAGACCAAGG	CAGGGTCACT	TGGAAGACTT	ACTGTCACAA
370	380	390	400	410	420	430	440	450
ACCCCTCTAG	ATATTCAAGCA	CGTACTCCC	CCGTTGAGCT	GTGACTATGTA	CACAAGTCTC	CCTTTCTCGG	TGTGTGAGTC	CTGCCCTCCT
460	470	480	490	500	510	520	530	540
CACAAGCAGC	TCCGCCTATC	CACAGATGCT	ACGGAACACT	CCTTAGATAA	TGGTGTGATGGT	CCTCCCTGTC	TTCTGGTGA	GCCATGCACT
550	560	570	580	590	600	610	620	630
CCTGAGTTTT	ACCAGGCACA	CTACCAGCTG	GCCTATAGGT	TGCAATCTCA	GCCCCGTGGC	TTGGCACTGG	TGCTGAGCAA	TGTGCACTTC
640	650	660	670	680	690	700	710	720
ACTGGAGAGA	AAGACCTGGA	ATTCCGCTCT	GGAGGGGATG	TGGACCACAC	TACTCTAGTC	ACCCTCTTC	AGCTTTGGG	CTACAATGTC
730	740	750	760	770	780	790	800	810
CATGTGCTAC	ATGACCAGAC	CGCACAGGAA	ATGCAAGAGA	AACTTCAGAA	TTTTGCACAG	TTACCTGAC	ACCGGGTCAC	AGACTCCTGC
820	830	840	850	860	870	880	890	900
GTAGTGGCAC	TCCTCTCACA	TGGTGTGGAA	GGTGGCATCT	ATGGTGTAGA	TGGCAAACAG	CTTCAGCTCC	AAGAGGTTTT	TCGACTTTTT
910	920	930	940	950	960	970	980	990
GACAATGCTA	ACTGTCCAAG	TCTACAGAAC	AAGCCAAAAAA	TGTTCTTCAT	CCAAGCATGT	CGTGGAGATG	AGACAGATAG	AGGTGTCGAC
1000	1010	1020	1030	1040	1050	1060	1070	1080
CAGCAAGATG	GAAAGAACCA	CACACAATCC	CCTGGATGTG	AGGAGAGTGA	TGCTGGCAA	GAGGAGTTGA	TGAAGATGAG	ACTGCCACT
1090	1100	1110	1120	1130	1140	1150	1160	1170
CGCTCAGACA	TGATATGTGG	CTATGCTTGC	CTTAAAGGTA	ATGCTGCCAT	GCGGAACACC	AAACGGGGTT	CCTGGTACAT	TGAGGCCCTC
1180	1190	1200	1210	1220	1230	1240	1250	1260
ACTCAGGTGT	TCTCTGAAAG	AGCTTGTGAC	ATGCACGTGG	CCGACATGCT	TGTTAAGGTG	AATGCCCTTA	TCAAGGAGCG	TGAAGGCTAT
1270	1280	1290	1300	1310	1320	1330	1340	1350
GCCCCGGCA	CAGAATTCCA	CCGATGCAAG	GAGATGTCTG	AGTACTGTAG	TACTCTGTGC	CAGCAACTCT	ACCTGTTCCC	AGGCTACCC
1359								
CCACACGTGA								

**A10. caspase 3 (*Mus musculus*) Ref.: Y13086**

10	20	30	40	50	60	70	80	90	
ATGGAGAAC	ACAAAAC	CTC	AGTGGATTCA	AAATCCATTA	ATAATTTGA	AGTAAAGACC	ATACATGGG	GCAAGTCAGT	GGACTCTGGG
100	110	120	130	140	150	160	170	180	
ATCTATCTGG	ACAGTAGTTA	CAAAATGGAT	TATCCTGAAA	TGGGCATATG	CATAATAATT	AATAATAAGA	ACTTCCATAA	GAGCACTGGG	
190	200	210	220	230	240	250	260	270	
ATGTCATCTC	GCTCTGGTAC	GGATGTGGAC	GCAGCCAACC	TCAGAGAGAC	ATTCATGGGC	CTGAAATACC	AAGTCAGGAA	TAAAAATGAT	
280	290	300	310	320	330	340	350	360	
CTTACTCGTG	AAGACATTTT	GGAATTAATG	GATAGTGT	CTAAGGAAGA	TCATAGCAA	AGGAGCAGCT	TTGTGTGTGT	GATTCTAACG	
370	380	390	400	410	420	430	440	450	
CATGGTGATG	AAGGGGTCA	TTATGGGACA	AATGGGCCTG	TTGAACTGAA	AAAGTTGACT	AGCTTCTTC	GAGGCGACTA	CTGCCGGAGT	
460	470	480	490	500	510	520	530	540	
CTGACTGGAA	AGCCGAAACT	CTTCATCATT	CAGGCCTGCC	GGGGTACCGA	GCTGGACTGT	GGCATTGAGA	CAGACAGTGG	GACTGATGAG	
550	560	570	580	590	600	610	620	630	
GAGATGGCTT	GCCAGAAGAT	ACCGGTGGAG	GCTGACTTCC	TGTATGCTTA	CTCTACAGCA	CCTGGTTACT	ATTCCCTGGAG	AAATTCAAAG	
640	650	660	670	680	690	700	710	720	
GACGGGTCGT	GGTTCATCCA	GTCCCTTGC	AGCATGCTGA	AGCTGTACGC	GCACAAGCTA	GAATTATGC	ACATTCTCAC	TCGCGTTAAC	
730	740	750	760	770	780	790	800	810	
AGGAAGGTGG	CAACGGAATT	CGAGTCCTTC	TCCCTGGACT	CCACTTTCCA	CGCAAAGAAA	CAGATCCCCT	GTATTGTGTC	CATGCTCACG	
820	830	834							
AAAGAACTGT	ACTTTTAT	CA	CTAG						

**A11. caspase 9 (*Mus musculus*) Ref.: NM\_015733**

10	20	30	40	50	60	70	80	90
ATGGACGAGG	CGGACCGGCA	GCTCCTGCGG	CGATGCAGGG	TGCCCTAGT	GAGCGAGCTG	CAAGTCGCGG	AGCTCTGGGA	CGCTCTGCTG
100	110	120	130	140	150	160	170	180
AGTCGAGAGC	TCTTCACGCG	CGACATGATC	GAGGATATTG	AGCAGGCAGG	ATCTGGGTCT	CGGCAGGATC	AGGCCAGGCA	GCTGGTCACA
190	200	210	220	230	240	250	260	270
GACCTTGAGA	CCCGAGGGAG	GCAGGCCCTT	CCTCTCTTCA	TCTCCTGCTT	AGAGGACACA	GGCCAAGGCA	CCCTGGCTTC	ACTCTTGCAA
280	290	300	310	320	330	340	350	360
AGCGGTCGGC	AAGCAGCCAA	GCAGGATCCA	GAGGCTGTTA	AACCCCTAGA	CCACCTGGTG	CCTGTGGTCC	TGGGACCAAT	GGGACTCACA
370	380	390	400	410	420	430	440	450
GCAAAGGAGC	AGAGAGTAGT	GAAGCTGGAG	CCGTCACAGC	CTGCCGTGGG	AAACCTCAC	CCAGTGGTGC	TGGGCCAGA	AGAGCTCTGG
460	470	480	490	500	510	520	530	540
CCTGCTCGGC	TCAAGCCAGA	GGTTCTCAGA	CCAGAACAC	CCAGGCCGGT	GGACATTGGT	TCTGGCGGAG	CTCATGATGT	CTGTGTTCCA
550	560	570	580	590	600	610	620	630
GGGAAGATCA	GGGGACATGC	AGATATGGCA	TACACCTCTGG	ATTGGATCC	CTGTGGCCAC	TGCCTCATCA	TCAACAATGT	GAACCTCTGC
640	650	660	670	680	690	700	710	720
CCTTCCTCGG	GGCTCGGCAC	ACGCACGGGC	TCCAACCTGG	ACCGTGACAA	ACTTGAGCAC	CGATTCCGCT	GGCTGCGCTT	CATGGTGGAG
730	740	750	760	770	780	790	800	810
GTGAAGAACG	ACCTGACTGC	CAAGAAAATG	GTCACGGCTT	TGATGGAGAT	GGCACACCGG	AACCACCGTG	CCCTGGACTG	CTTTGTGGTG
820	830	840	850	860	870	880	890	900
GTCATCCTCT	CTCATGGCTG	CCAGGCCAGC	CACCTCCAGT	TCCCAGGTGC	TGTCTATGGG	ACAGATGGAT	GCTCCGTGTC	CATTGAGAAA
910	920	930	940	950	960	970	980	990
ATTGTGAATA	TCTTCACACGG	GAGCGGCTGC	CCCAGCCTGG	GAGGGAAAGCC	CAAGCTCTTC	TTCATCCAGG	CCTGCGGTGG	TGAGCAGAAA
1000	1010	1020	1030	1040	1050	1060	1070	1080
GACCATGGCT	TTGAGGTGGC	CTGCACTTCC	TCTCAAGGCA	GGACCTTGGA	CAGTGACTCT	GAGCCAGATG	CTGTCCCAT	TCAGGAAGGC
1090	1100	1110	1120	1130	1140	1150	1160	1170
CCAAGGCCCT	TGGACCAGCT	GGATGCTGTG	TCAAGTTTG	CTACCCCCAG	TGACATCCTT	GTGTCCTACT	CCACCTTCCC	AGGTTTTGTC
1180	1190	1200	1210	1220	1230	1240	1250	1260
TCCTGGAGGG	ACAAGAAAAG	TGGCTCCTGG	TACATCGAGA	CCTTGGATGG	CATTCTGGAG	CAGTGGGCTC	GCTCTGAAGA	CCTGCAGTCC
1270	1280	1290	1300	1310	1320	1330	1340	1350
CTCCTTCTCA	GGGTCGCCAA	TGCTGTTCT	GAGAAAGGGA	CTTACAAGCA	GATTCCCTGGC	TGTTTTAACT	TCCTCCGGAA	AAAGCTGTTT
1360	1365							
TTTAAACTT	CATGA							

**A12. *bhrf-1* (Herpesvirus humà de tipus 4) Ref.: M17416**

10	20	30	40	50	60	70	80	90
ATGGCCTATT CAACAAGGGA GATACTGTAA GCCCTGTGTA TACGGGACAG TCGTGTGCAT GGAAATGGTA CCCTGCATCC TGTGTTGGAG								
100	110	120	130	140	150	160	170	180
CTAGCAGCAA GAGAACACCC TCTCCGCCTT TCGCCAGAGG ACACTGTAGT TCTGCGTTAT CATGTGTTGC TTGAGGAGAT AATTGAACGA								
190	200	210	220	230	240	250	260	270
AATTCAAGAGA CATTACAGA AACTTGAAC AGATTTATAA CACACACCGA ACATGTGGAT CTGGATTTA ACTCAGTATT TTTAGAGATA								
280	290	300	310	320	330	340	350	360
TTTCACCGTG GAGACCCAAG CCTTGGCGC GCGTTGCCT GGATGGCCTG GTGCATGCAT GCCTGCAGGA CATTGTGTTG TAACCAGTCT								
370	380	390	400	410	420	430	440	450
ACTCCTTACT ATGTTGTGGA CCTGTCAGTT CGTGGATGT TAGAAGCCAG CGAAGGCCTG GATGGTTGGA TTCATCAACA GGGCGGCTGG								
460	470	480	490	500	510	520	530	540
TCTACATTAA TTGAAGACAA CATTCTGGA TCCAGAAGGT TTAGCTGGAC TTTGTTCTT GCTGGACTGA CTTTGAGTCT GTTAGTTATA								
550	560	570	576					
TGTAGTTATT TATTATCTC CAGAGGAAGA CACTAA								

**A13. p35 (Autographa californica nucleopolyhedrovirus) Ref.: NC\_001623<sup>(\*)</sup>**

<sup>(\*)</sup> ORF comprès entre 116492 a 117391

10	20	30	40	50	60	70	80	90
ATGTGTGTAA	TTTTTCCGGT	AGAAATCGAC	Gtgtcccaga	cgattatttcg	AGATTGTCAG	GTGGACAAAC	AAACCAGAGA	GTTGGTGTAC
100	110	120	130	140	150	160	170	180
ATTAACAAGA	TTATGAACAC	GCAATTGACA	AAACCCGTTTC	TCATGATGTT	TAACATTTCG	GGTCCTATAAC	GAAGCGTTAC	GCGCAAGAAC
190	200	210	220	230	240	250	260	270
AACAATTGTC	GCGACAGAAAT	AAAATCAAAA	GTCGATGAAC	AATTTGATCA	ACTAGAACGC	GATTACAGCG	ATCAAATGGA	TGGATTCCAC
280	290	300	310	320	330	340	350	360
GATAGCATCA	AGTATTAA	AGATGAACAC	TATTCGGTAA	GTTGCCAAAA	TGGCAGCGTG	TTGAAAAGCGA	AGTTTGCTAA	AATTTAAAG
370	380	390	400	410	420	430	440	450
AGTCATGATT	ATACCGATAA	AAAGTCTATT	GAAGCTTACG	AGAAATACTG	TTTGCCAAA	TTGGTCGACG	AACGCAACGA	CTACTACGTG
460	470	480	490	500	510	520	530	540
GCGGTATGCG	TGTTGAAGCC	GGGATTGAG	AACGGCAGCA	ACCAAGTGCT	ATCTTTCGAG	TACAACCCGA	TTGGTAACAA	AGTTATTGTC
550	560	570	580	590	600	610	620	630
CCGTTTGCTC	ACGAAATTAA	CGACACGGGA	CTTTACGAGT	ACGACGTCGT	AGCTTACGTG	GACAGTGTGC	AGTTTGATGG	CGAACAAATT
640	650	660	670	680	690	700	710	720
GAAGAGTTG	TGCAGAGTTT	AATATTGCCG	TCGTCGTTCA	AAAATTCGGA	AAAGGTTTTA	TATTACAACG	AAGCGTCGAA	AAACAAAAGC
730	740	750	760	770	780	790	800	810
ATGATCTACA	AGGCTTTAGA	GTTTACTACA	GAATCGAGCT	GGGGCAAATC	CGAAAAGTAT	AATTGGAAAAA	TTTTTTGTAA	CGGTTTTATT
820	830	840	850	860	870	880	890	900
TATGATAAAA	AATCAAAAGT	GTTGTATGTT	AAATTGCACA	ATGTAACTAG	TGCACTCAAC	AAAAATGTAA	TATTAACAC	AATTAATAAA

**A14. *ksbcl-2* (Herpesvirus humà tipus 8) Ref.: U67773**

10	20	30	40	50	60	70	80	90
ATGGACGAGG	ACGTTTGCC	TGGAGAGGTG	TTGGCCATTG	AAGGGATATT	CATGGCCTGT	GGATTAAACG	AACCTGAGTA	CCTGTACCAT
100	110	120	130	140	150	160	170	180
CCTTTGCTCA	GCCCTATTAA	GCTATACATC	ACAGGCTTAA	TGCGAGACAA	GGAGTCCTTA	TTCGAGGCCA	TGTTGGCTAA	TGTGAGATTT
190	200	210	220	230	240	250	260	270
CACAGCACCA	CCGGTATAAAA	CCAGCTTGGG	TTGAGCATGC	TGCAGGTTAG	CGGCGATGGA	AACATGAACT	GGGGCGAGC	CCTGGCTATA
280	290	300	310	320	330	340	350	360
CTGACCTTG	GCAGTTTGT	GGCCCAGAACG	TTATCCAACG	AACCTCACCT	GCGAGACTTT	GCTTTGGCCG	TTTTACCTGT	ATATGCGTAT
370	380	390	400	410	420	430	440	450
GAAGCAATCG	GACCCAGTG	GTTTCGCGCT	CGCGGAGGCT	GGCGAGGCCT	GAAGGCGTAT	TGTACACAGG	TGCTTACCAG	AAGAAGGGGA
460	470	480	490	500	510	520	528	
CGGAGAACG	CAGCGCTATT	GGGAAGCATT	GCATTATTGG	CCACTATATT	GGCAGCGGTC	GCGATGAGCA	GGAGATAAA	

---

## **ANNEX B**

## **MAPES DE VECTORS**

---

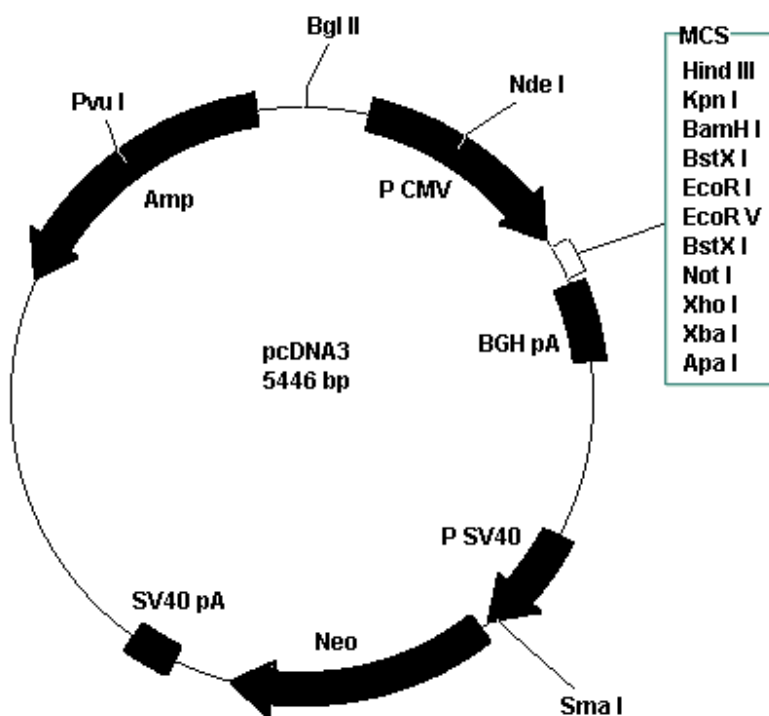
En aquest Annex, es mostren els mapes dels vectors generats així com els esquelets dels vectors que es van emprar com a punt de partida per crear-los. Per al clonatge dels diferents gens amb els quals s'ha treballat en aquesta tesi, es van utilitzat les tècniques i metodologies pròpies de la Biologia Molecular que s'especifiquen al Capítol 7, de Materials i Mètodes.

Per a la representació gràfica dels vectors i de les construccions, es va utilitzat el programa Plasmid 1.02/3.7 1996 (realitzat per Kivirauma T, Oikari P, Saarela J, del Department of Biotechnology, University of Kuopio, Finland).

### B1. pcDNA3 (Invitrogen)

Els productes de PCR i RT-PCR obtinguts en aquest treball es van clonar en el plasmidi pcDNA3. Es tracta d'un vector comercial de 5446 pb dissenyat per a l'expressió gènica en hostes eucariotes. Conté un promotor i una seqüència de poliadenilació eucariota entre els quals s'insereix la seqüència desitjada. També té un marcador de selecció eucariota que li confereix resistència a la G418. Tant el promotor com la seqüència de poliadenilació provenen del virus SV40. El fragment de DNA inserit es troba sota el control del promotor de Citomegalovirus (CMV), que assegura un elevat nivell d'expressió en un gran nombre de cèl·lules animals, mentre que el senyal de poliadenilació dels mRNA transcrits és el de l'hormona bovina del creixement (BGH).

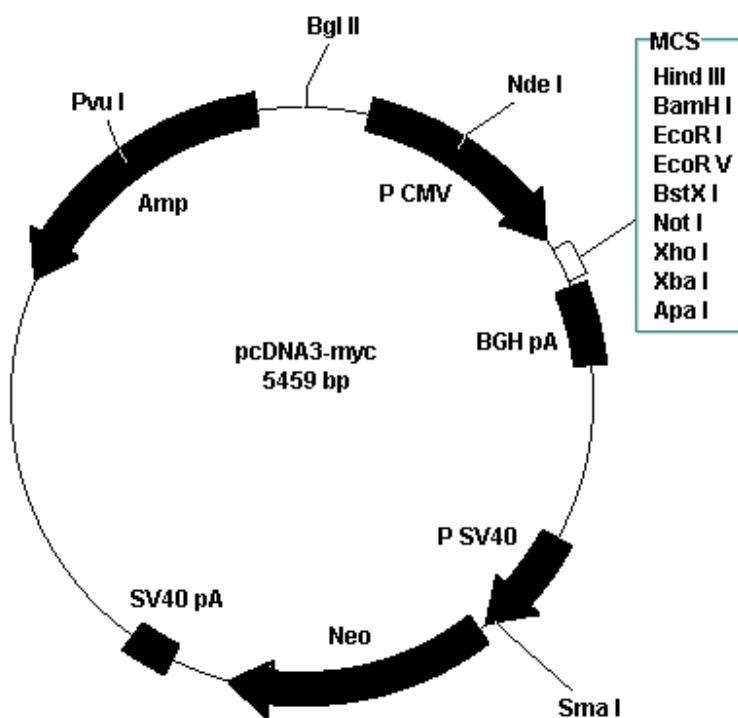
El plasmidi pcDNA3 es pot replicar en *E. coli*, gràcies a la presència d'un origen de replicació ColE1. La selecció de les colònies que han incorporat el vector es realitza mitjançant l'ús d'ampicil·lina a  $50 \mu\text{g}\cdot\text{mL}^{-1}$ .



## B2. pcDNA3-myc (Ryosuke)

El vector pcDNA3-myc és una variant del pcDNA3 que conté la seqüència que codifica l'epítop *myc* entre les dianes de restricció *Hind* III i *EcoR* I. Va ser generat pel Dr. Ryosuke (The Burnham Institute) i cedit gentilment pel Dr. Reed The Burnham Institute) a partir d'un fragment amplificat per PCR que codifica per aquest epítop i que va ser clonat entre les dues dianes de restricció esmentades, conservant la resta de la seqüència del vector.

A l'igual que el plasmidi pcDNA3 del qual prové, el pcDNA3-myc es pot replicar en *E. coli*, gràcies a la presència d'un origen de replicació ColE1. La selecció de les colònies que han incorporat el vector es realitza mitjançant l'ús d'ampicil·lina a  $50 \mu\text{g}\cdot\text{mL}^{-1}$ .

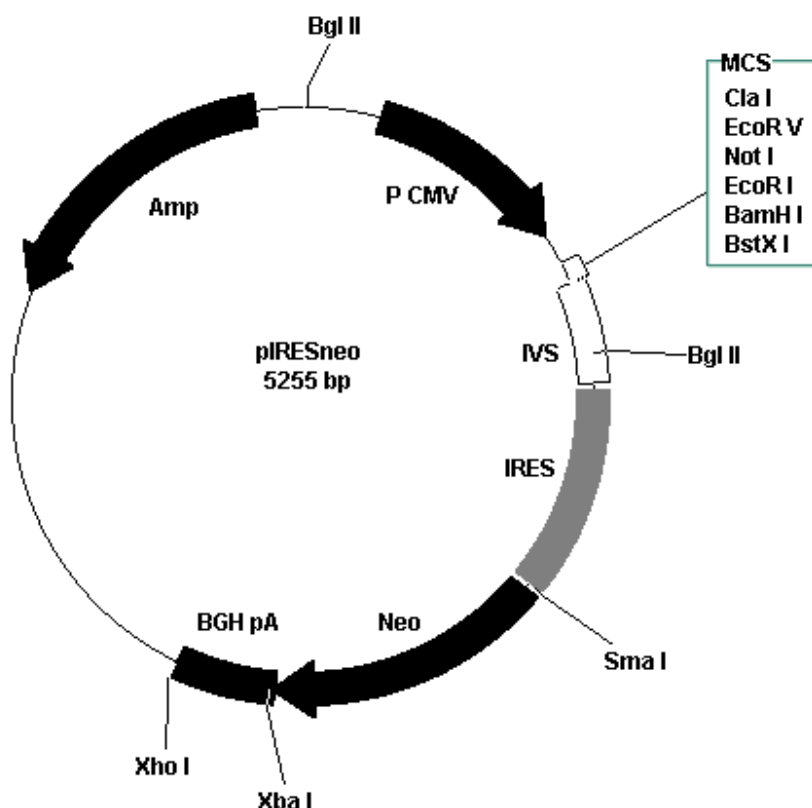


### B3. pIRESneo (Clontech)

Per a la generació d'un vector bicistrònic que contingüés el gen de la glutamina sintetasa enllot de la resistència a un antibiòtic, es va partir del vector bicistrònic pIRESneo (Clontech). Aquest tipus de vectors es caracteritzen per contenir una seqüència IRES (*Internal Ribosomal Entry Sites*) provinent del virus encefalomocarditis *ECMV*, que permet la traducció simultània de la proteïna d'interès i del marcador de selecció a partir del mateix mRNA. L'IVS correspon a un intró sintètic.

Els missatgers transcrits contenen un gen que els confereix resistència a la neomicina i el gen d'interès. D'aquesta manera, la cèl·lula que incorpori el vector sobreviurà en un medi amb G418 ja que expressarà el gen que li confereix resistència a aquest antibiòtic, així com el gen d'interès. L'avantatge d'utilitzar aquests vectors rau en el fet que les modificacions genètiques introduïdes en la cèl·lula animal perduren al llarg del temps i s'elimina la necessitat de crivellar un gran nombre de colònies per buscar clons funcional.

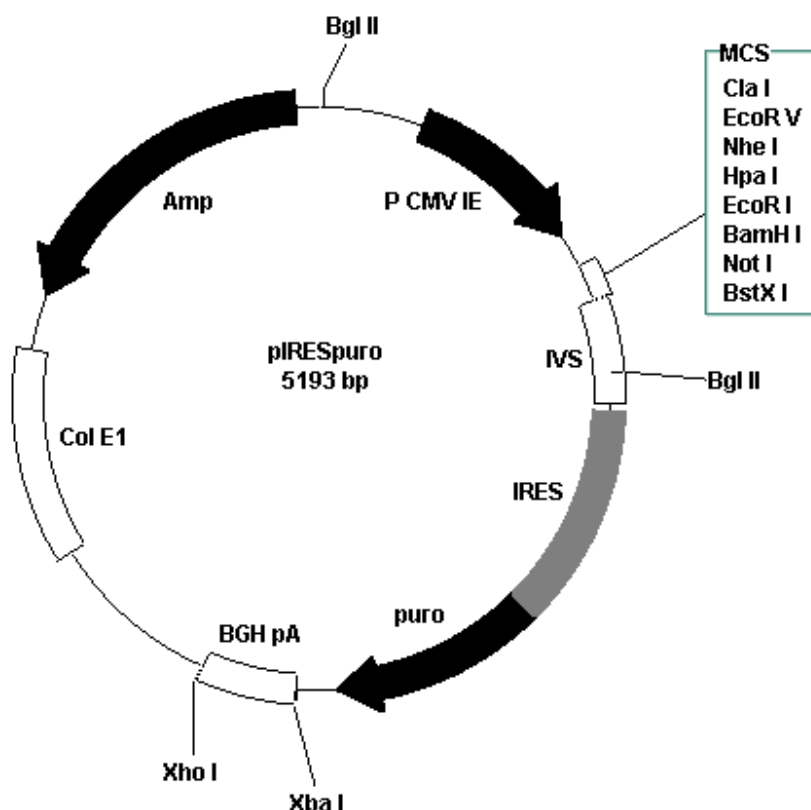
Aquest plasmidi es pot replicar en *E. coli*. La selecció de les colònies que han incorporat el vector es realitza mitjançant l'ús d'ampicil·lina a  $50 \mu\text{g} \cdot \text{mL}^{-1}$ .



#### B4. pIRESpuro2 (Clontech)

En l'intent d'estabilització de l'expressió en l'hibridoma KB26.5, es va escollir el vector bicistrònic pIRESpuro2, que es caracteritza per ser un vector amb IRES capaç de generar un missatger bicistrònic que conté un gen que confereix resistència a l'antibiòtic puromicina, a banda del lloc d'inserció del gen d'interès. En aquest cas, es va escollir la resistència a la puromicina, antibiòtic d'efecte ràpid, a diferència de la neomicina, perquè accelera l'obtenció de les poblacions clonals transfectades, ja que les cèl·lules que no han incorporat el plasmidi moren en un interval molt curt de temps (2-3 dies, respecte les 2-3 setmanes necessàries quan es treballa amb l'antibiòtic G418). A l'igual que el pIRESneo, el pIRESpuro2 conté una seqüència IRES del virus encefalomocarditis *ECMV* que permet la traducció simultània de la proteïna d'interès i del marcador de selecció a partir d'un únic mateix mRNA. L'IVS correspon a un intró sintètic.

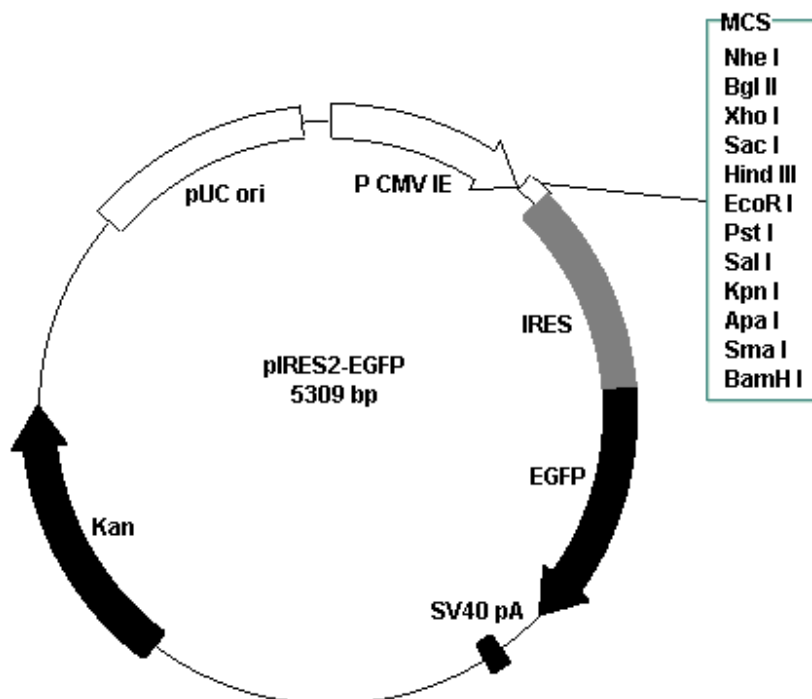
Aquest plasmidi es pot replicar en *E. coli*. La selecció de les colònies que han incorporat el vector es realitza mitjançant l'ús d'ampicil·lina a  $50 \mu\text{g}\cdot\text{mL}^{-1}$ .



### B5. pIRES2-EGFP (Clontech)

Per a la determinació de l'eficiència de transfecció, es va fer ús del vector pIRES2-EGFP, que conté la seqüència que codifica per a la proteïna fluorescent EGFP. D'altra banda, aquest vector es caracteritza per generar missatgers biscistrònics, com ho feien pIRESneo i pIRESpuro2, i per permetre la creació de construccions quimèriques amb la EGFP.

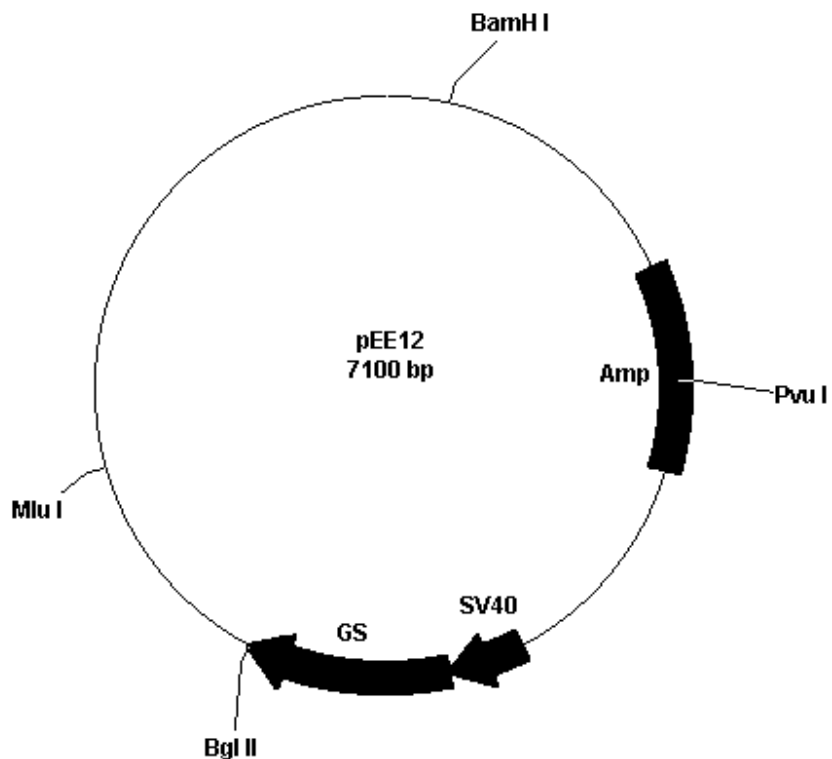
Aquest plasmidi es pot replicar en *E. coli*. La selecció de les colònies que han incorporat el vector es realitza mitjançant l'ús de kanamicina  $10 \mu\text{g}\cdot\text{mL}^{-1}$ .



**B6. pEE12 (Lonza Biologics)**

La font del gen *glutamina sintetasa* per a la síntesi del vector pIRES-GS fou el vector pEE12 (Lonza Biologics).

Aquest plasmidi es pot replicar en *E. coli*. La selecció de les colònies que han incorporat el vector es realitza mitjançant l'ús d'ampicil·lina a  $50 \mu\text{g}\cdot\text{mL}^{-1}$ .



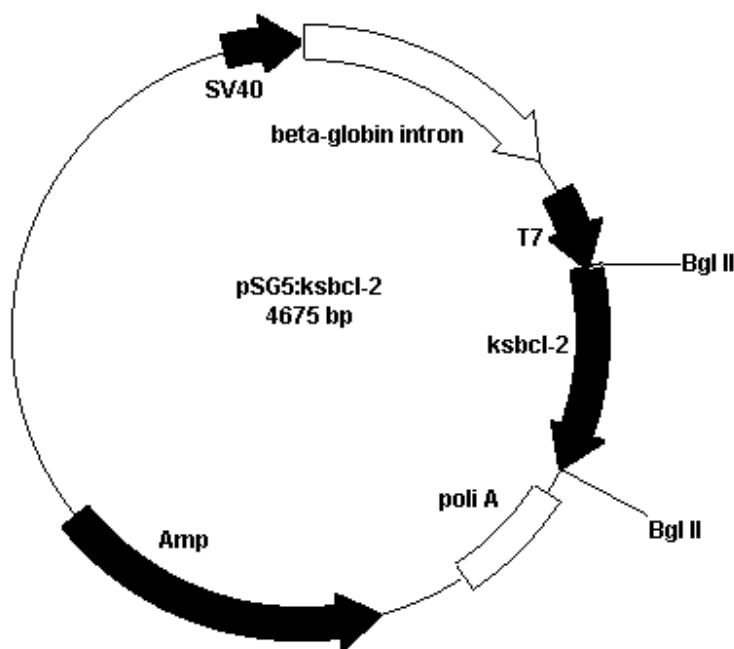
### B7. pSG5:ksbcl-2 (Dr. Jean M. Hardwick)

El cDNA codificant del KSBcl-2, membre de la família del Bcl-2, va ser gentilment cedit per la Dra. J-M. Hardwick, inserit en el vector pSG5 (Stratagene) amb la seqüència que codifica per l'epítop HA en 5'.

La seqüència codificant per a l'epítop HA que ha estat afegit en 5' al cDNA del KSBcl-2 es mostra a continuació.

----- **HA-tag** -----      **Bgl II** →  
 ATGGCG**TACCATACGATGTTCCAGATTACGCT**AGCTTG**AGATCT**ACC**ATGG**ACG

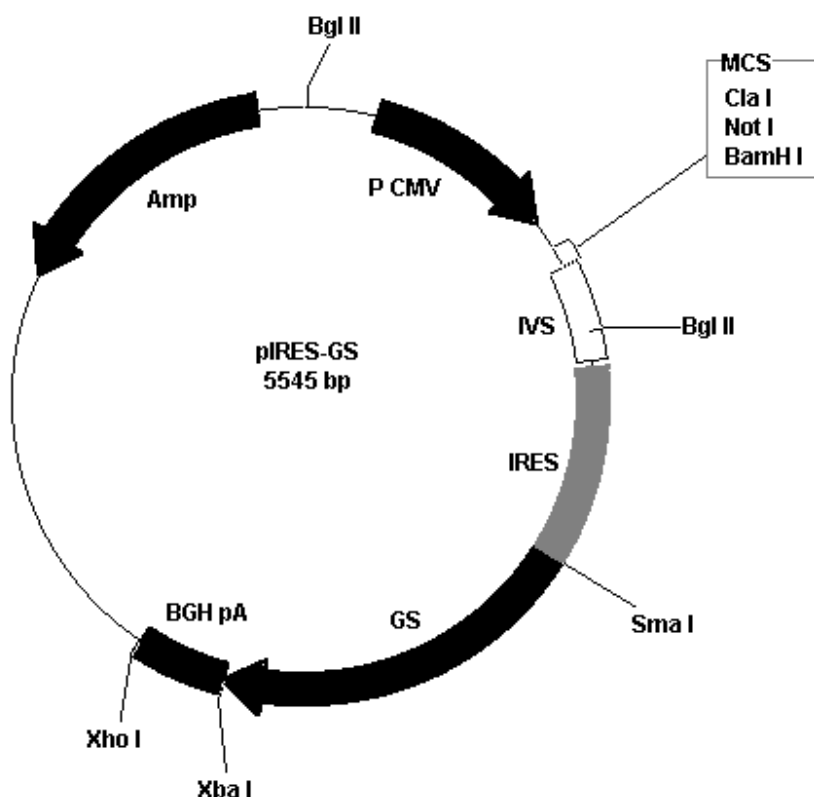
De totes formes, a l'alliberar l'insert amb *Bgl* II per subclonar-lo en altres vectors, es perd l'HA-tag, a menys que no es realitzi una amplificació per PCR amb un encebador que inclogui la zona 5' que codifica per l'HA-tag.



### B8. pIRES-GS

En aquest treball, s'ha generat un nou vector bicistrònic que té com a marcador de selecció el gen de la *glutamina sintetasa*. Aquesta estratègia aprofita que l'hibridoma KB26.5 és deficient en aquest gen i, com a conseqüència, no pot realitzar la reacció catalitzada per la GS. Això permet seleccionar les cèl·lules que han incorporat el plasmidi, substituint del medi la glutamina pel glutamat. Els detalls de la seva síntesi s'especifiquen a l'apartat 7.7.1. d'aquesta memòria.

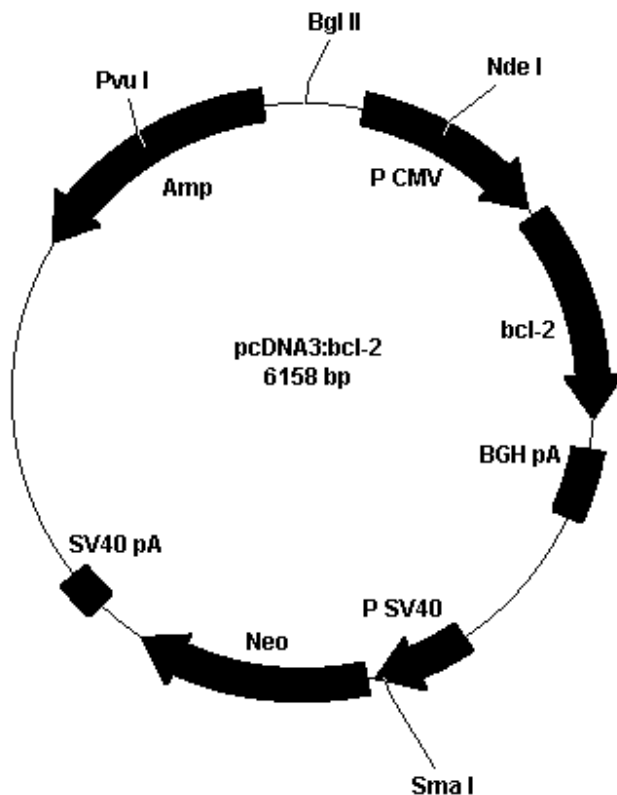
A l'igual que el plasmidi pIRESneo del qual prové, el pIRES-GS es pot replicar en *E. coli*, gràcies a la presència d'un origen de replicació Col E1. La selecció de les colònies que han incorporat el vector es realitza mitjançant l'ús d'ampicil·lina a  $50 \mu\text{g}\cdot\text{mL}^{-1}$ .



### B9. pcDNA3:*bcl-2*

El gen que codifica per la proteïna protectora de l'apoptosi Bcl-2 humana fou clonada en el vector pcDNA3 en *EcoR I/Xho I*.

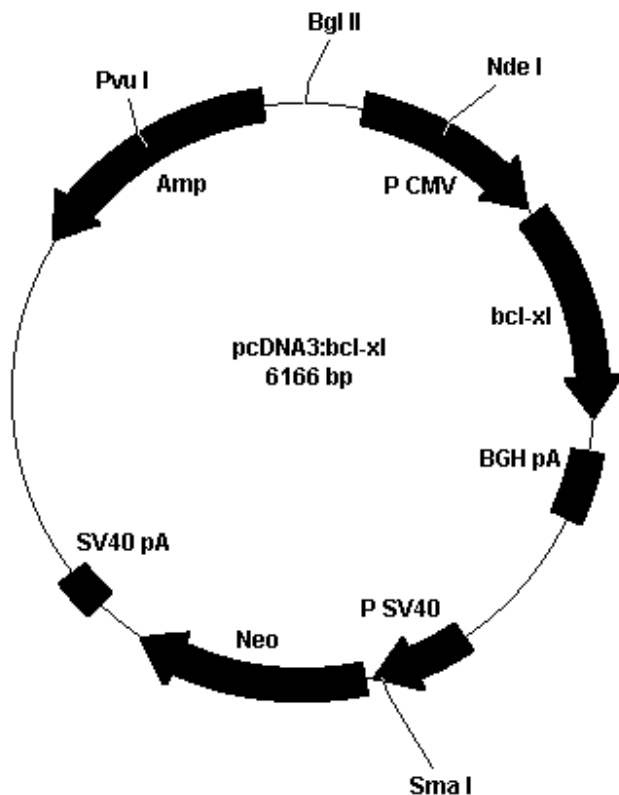
Aquest plasmidi es pot replicar en *E. coli*. La selecció de les colònies que han incorporat el vector es realitza mitjançant l'ús d'ampicil·lina a  $50 \mu\text{g}\cdot\text{mL}^{-1}$ . La concentració d'antibiòtic G418 òptima de treball en cèl·lules d'hibridoma és  $3 \text{ mg}\cdot\text{mL}^{-1}$  (veure Figura 5.5).



### B10. pcDNA3:*bcl-x<sub>L</sub>*

El gen que codifica per la proteïna inhibidora de Caspases X-IAP humana fou clonada en el vector pcDNA3 en *EcoR I/Xho I*.

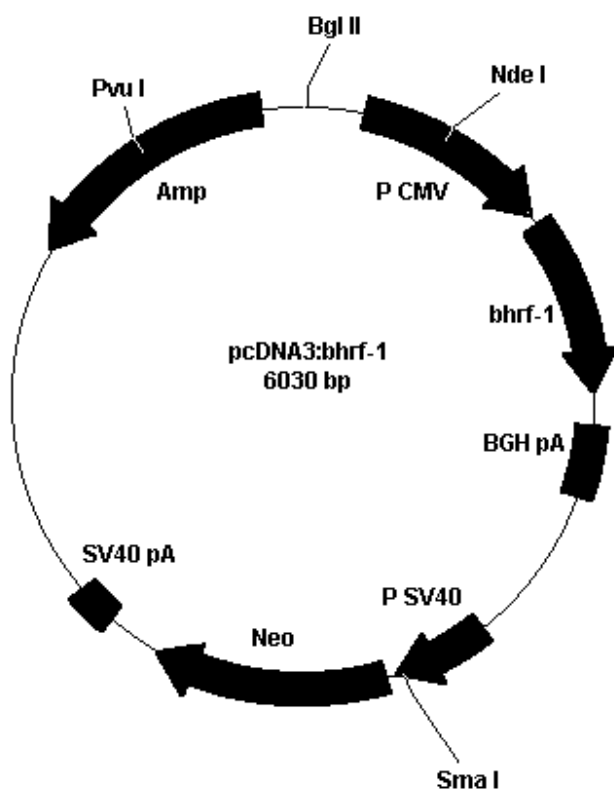
Aquest plasmidi es pot replicar en *E. coli*. La selecció de les colònies que han incorporat el vector es realitza mitjançant l'ús d'ampicil·lina a  $50 \mu\text{g}\cdot\text{mL}^{-1}$ . La concentració d'antibiòtic G418 òptima de treball en cèl·lules d'hibridoma és  $3 \text{ mg}\cdot\text{mL}^{-1}$  (veure Figura 5.5).



### B11. pcDNA3:*bhraf-1*

El cDNA del Bak obtingut per RT-PCR a partir de mostres de RNA del propi hibridoma KB26.5 fou clonat en el vector pcDNA3.

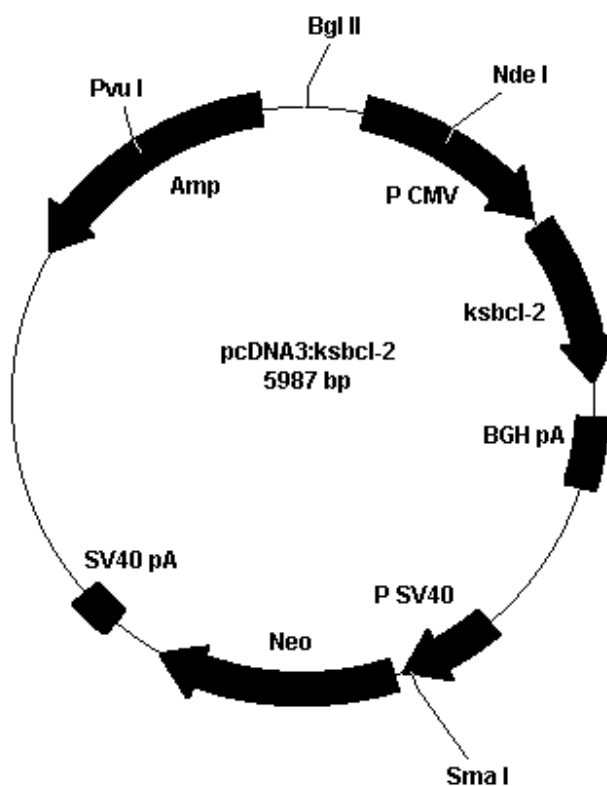
Aquest plasmidi es pot replicar en *E. coli*. La selecció de les colònies que han incorporat el vector es realitza mitjançant l'ús d'ampicil·lina a  $50 \mu\text{g}\cdot\text{mL}^{-1}$ . La concentració d'antibiòtic G418 òptima de treball en cèl·lules d'hibridoma és  $3 \text{ mg}\cdot\text{mL}^{-1}$  (veure Figura 5.5).



### B12. pcDNA3:*ksbcl-2*

El cDNA del gen que codifica pel *ksbcl-2*, alliberat per digestió amb *Bgl* II del vector pSG5:*ksbcl-2* (veure subapartat B7), fou clonat en el vector pcDNA3.

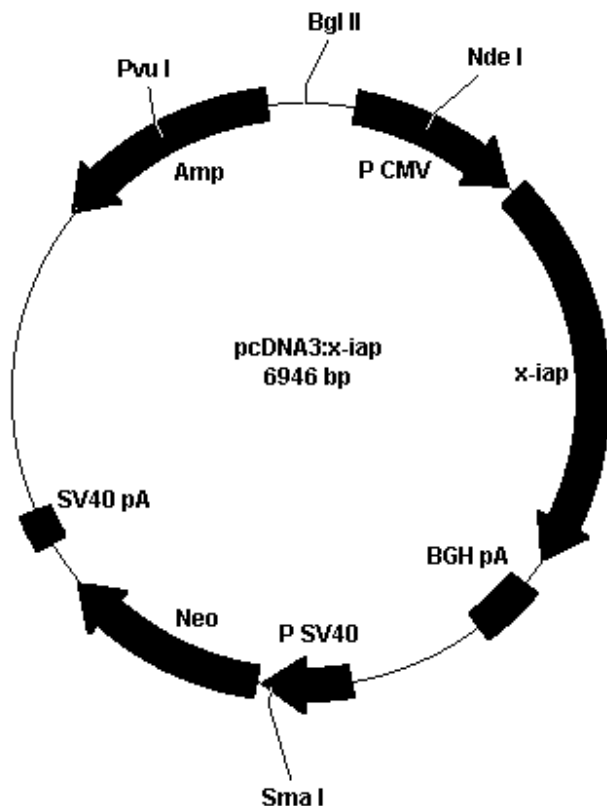
Aquest plasmidi es pot replicar en *E. coli*. La selecció de les colònies que han incorporat el vector es realitza mitjançant l'ús d'ampicil·lina a  $50 \mu\text{g}\cdot\text{mL}^{-1}$ . La concentració d'antibiòtic G418 òptima de treball en cèl·lules d'hibridoma és  $3 \text{ mg}\cdot\text{mL}^{-1}$  (veure Figura 5.5).



### B13. pcDNA3:*x-iap*

El cDNA del gen endogen *x-iap*, obtingut per RT-PCR a partir de mostres de RNA total extretes del propi hibridoma KB26.5, fou clonat en el vector pcDNA3.

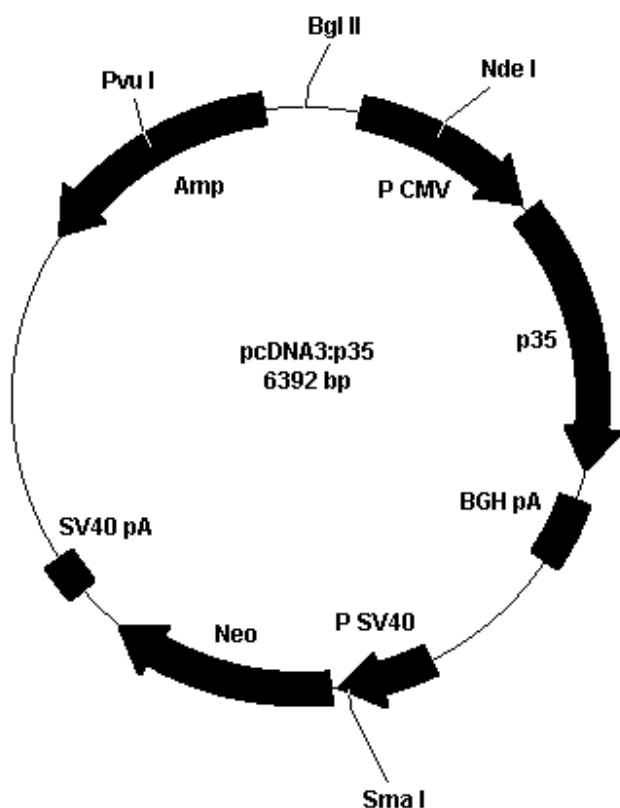
Aquest plasmidi es pot replicar en *E. coli*. La selecció de les colònies que han incorporat el vector es realitza mitjançant l'ús d'ampicil·lina a  $50 \mu\text{g}\cdot\text{mL}^{-1}$ . La concentració d'antibiòtic G418 òptima de treball en cèl·lules d'hibridoma és  $3 \text{ mg}\cdot\text{mL}^{-1}$  (veure Figura 5.5).



### B14. pcDNA3:p35

El cDNA del gen víric *p35*, obtingut per PCR a partir de mostres de DNA genòmic del baculovírus *AcMNPV*, fou clonat en el vector pcDNA3.

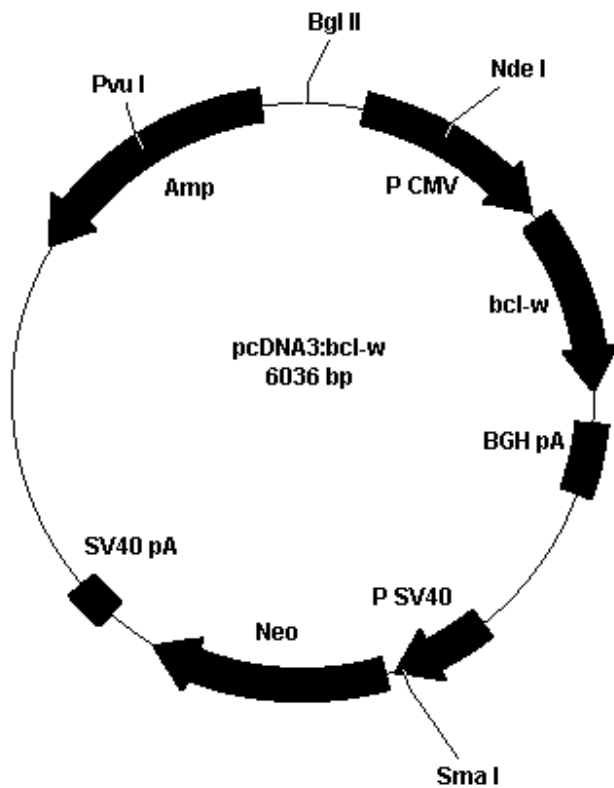
Aquest plasmidi es pot replicar en *E. coli*. La selecció de les colònies que han incorporat el vector es realitza mitjançant l'ús d'ampicil·lina a  $50 \mu\text{g}\cdot\text{mL}^{-1}$ . La concentració d'antibiòtic G418 òptima de treball en cèl·lules d'hibridoma és  $3 \text{ mg}\cdot\text{mL}^{-1}$  (veure Figura 5.5).



### B15. pcDNA3:*bcl-w*

El cDNA del gen protector de l'apòtosi *bcl-w*, obtingut per RT-PCR a partir de mostres de RNA total del propi híbridoma KB26.5, fou clonat en el vector pcDNA3.

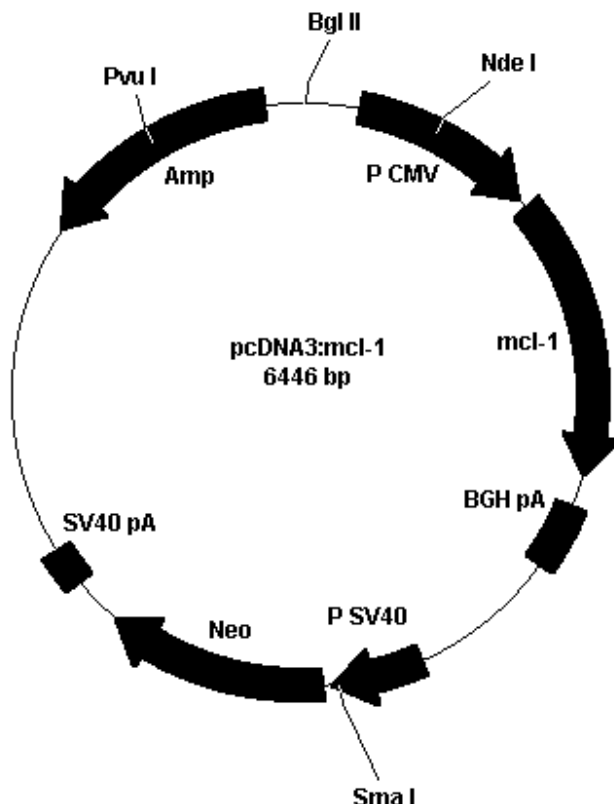
Aquest plasmidi es pot replicar en *E. coli*. La selecció de les colònies que han incorporat el vector es realitza mitjançant l'ús d'ampicil·lina a  $50 \mu\text{g}\cdot\text{mL}^{-1}$ . La concentració d'antibiòtic G418 òptima de treball en cèl·lules d'hibridoma és  $3 \text{ mg}\cdot\text{mL}^{-1}$  (veure Figura 5.5).



**B16. pcDNA3:mcl-1**

El cDNA del gen protector de l'apòtosi *mcl-1*, obtingut per RT-PCR a partir de mostres de RNA total del propi híbridoma KB26.5, fou clonat en el vector pcDNA3.

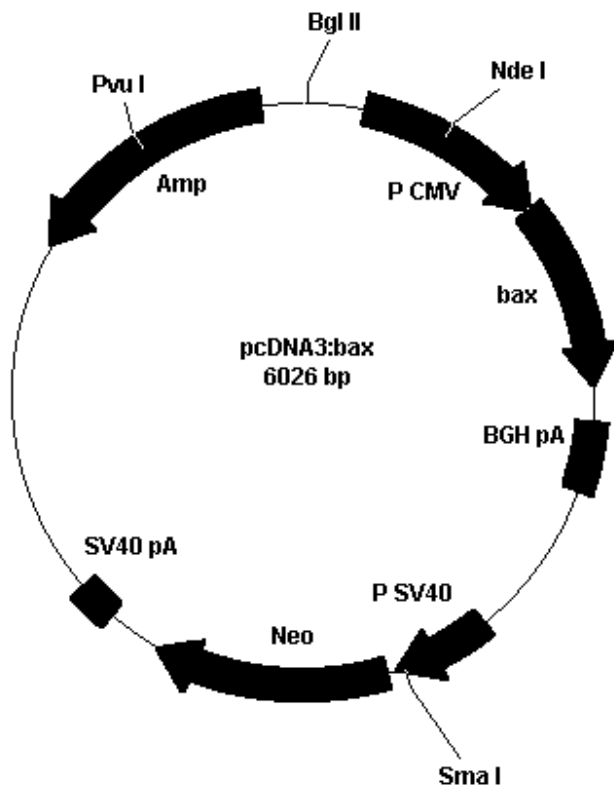
Aquest plasmidi es pot replicar en *E. coli*. La selecció de les colònies que han incorporat el vector es realitza mitjançant l'ús d'ampicil·lina a  $50 \mu\text{g}\cdot\text{mL}^{-1}$ . La concentració d'antibiòtic G418 òptima de treball en cèl·lules d'hibridoma és  $3 \text{ mg}\cdot\text{mL}^{-1}$  (veure Figura 5.5).



### B17. pcDNA3:*bax*

El cDNA del gen proapoptòtic endogen *bax*, obtingut per RT-PCR a partir de mostres de RNA total del propi hibridoma KB26.5, fou clonat en el vector pcDNA3.

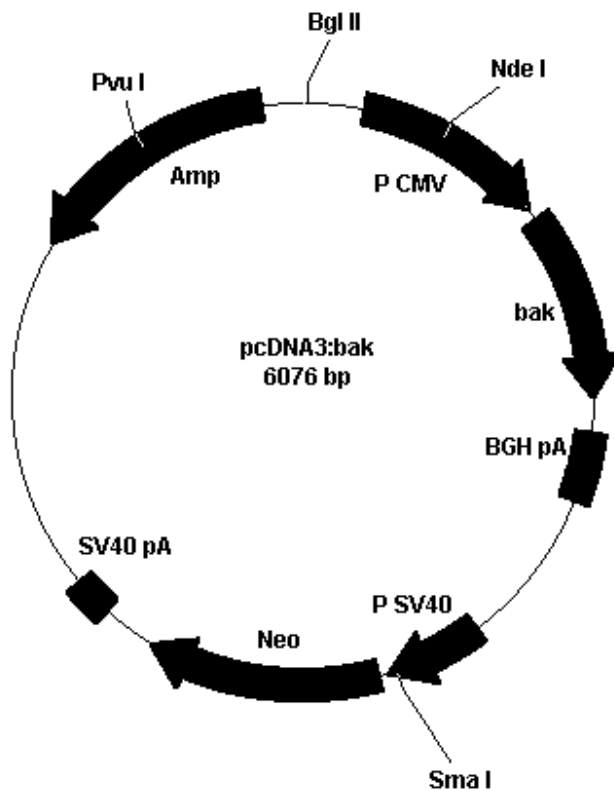
Aquest plasmidi es pot replicar en *E. coli*. La selecció de les colònies que han incorporat el vector es realitza mitjançant l'ús d'ampicil·lina a  $50 \mu\text{g}\cdot\text{mL}^{-1}$ . La concentració d'antibiòtic G418 òptima de treball en cèl·lules d'hibridoma és  $3 \text{ mg}\cdot\text{mL}^{-1}$  (veure Figura 5.5).



### B18. pcDNA3:*bak*

El cDNA del gen proapoptòtic endogen *bak*, obtingut per RT-PCR a partir de mostres de RNA total del propi hibridoma KB26.5, fou clonat en el vector pcDNA3.

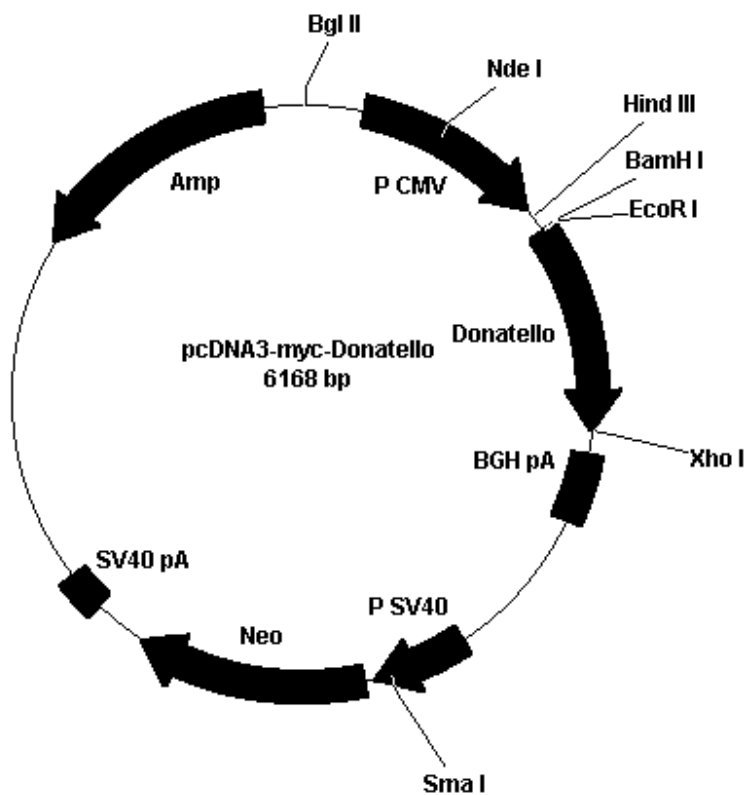
Aquest plasmidi es pot replicar en *E. coli*. La selecció de les colònies que han incorporat el vector es realitza mitjançant l'ús d'ampicil·lina a  $50 \mu\text{g}\cdot\text{mL}^{-1}$ . La concentració d'antibiòtic G418 òptima de treball en cèl·lules d'hibridoma és  $3 \text{ mg}\cdot\text{mL}^{-1}$  (veure Figura 5.5).



### B19. pcDNA3:*myc-Donatello*

La construcció *Donatello* va ser clonada en el vector pcDNA3-myc, incloent-li així la seqüència de l'epítop *myc*.

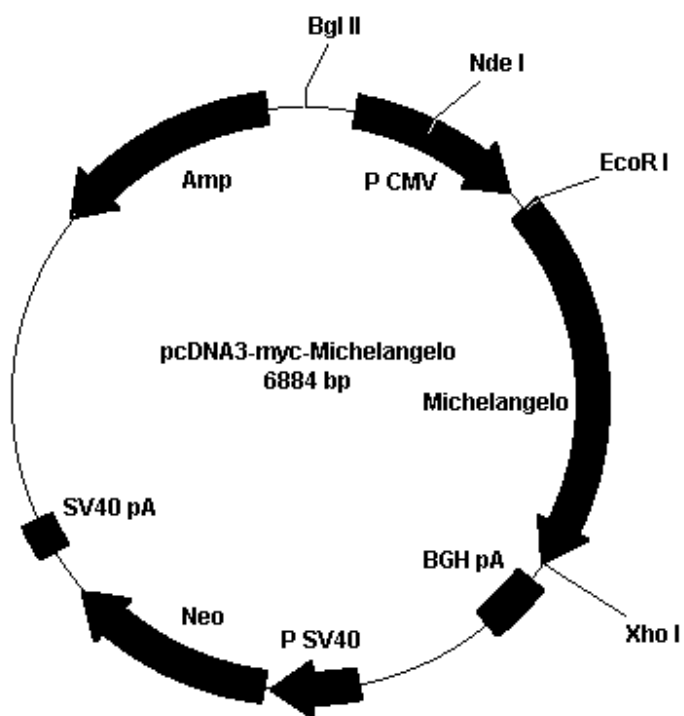
Aquest plasmidi es pot replicar en *E. coli*. La selecció de les colònies que han incorporat el vector es realitza mitjançant l'ús d'ampicil·lina a  $50 \mu\text{g}\cdot\text{mL}^{-1}$ . La concentració d'antibiòtic G418 òptima de treball en cèl·lules d'hibridoma és  $3 \text{ mg}\cdot\text{mL}^{-1}$  (veure Figura 5.5).



### B20. pcDNA3:*myc-Michelangelo*

La construcció *Michelangelo* va ser clonada en el vector pcDNA3-myc, incloent-li així la seqüència de l'epítop *myc*.

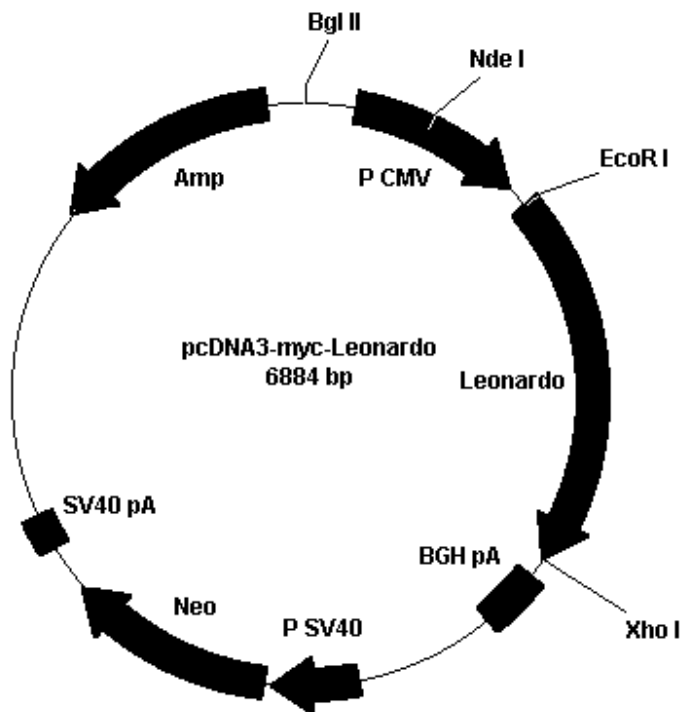
Aquest plasmidi es pot replicar en *E. coli*. La selecció de les colònies que han incorporat el vector es realitza mitjançant l'ús d'ampicil·lina a  $50 \mu\text{g}\cdot\text{mL}^{-1}$ . La concentració d'antibiòtic G418 òptima de treball en cèl·lules d'hibridoma és  $3 \text{ mg}\cdot\text{mL}^{-1}$  (veure Figura 5.5).



### B21. pcDNA3:*myc*-Leonardo

La construcció *Leonardo* va ser clonada en el vector pcDNA3-myc, incloent-li així la seqüència de l'epítop *myc*.

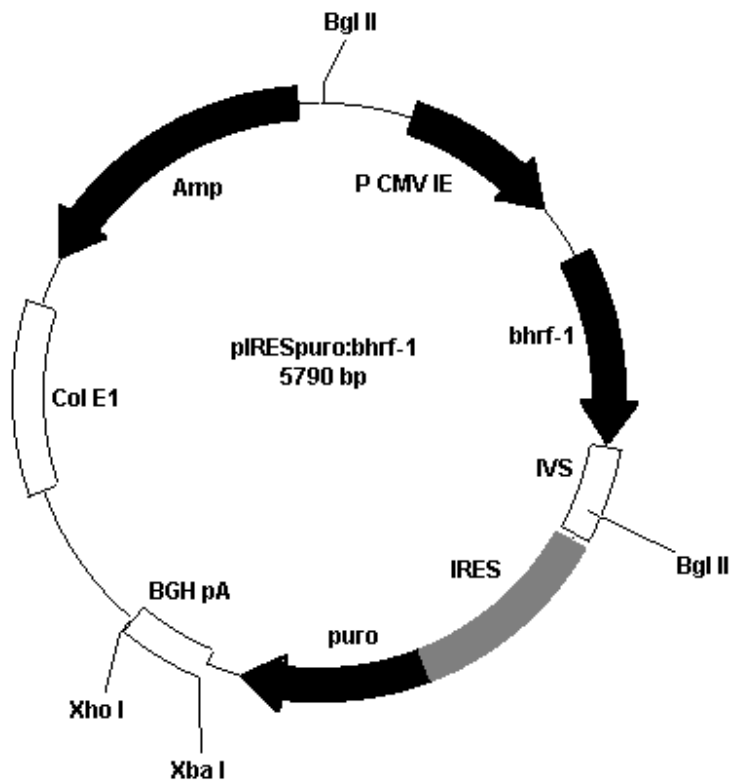
Aquest plasmidi es pot replicar en *E. coli*. La selecció de les colònies que han incorporat el vector es realitza mitjançant l'ús d'ampicil·lina a  $50 \mu\text{g}\cdot\text{mL}^{-1}$ . La concentració d'antibiòtic G418 òptima de treball en cèl·lules d'hibridoma és  $3 \text{ mg}\cdot\text{mL}^{-1}$  (veure Figura 5.5).



### B22. pIRESpuro2:*bhrlf-1*

El cDNA del gen *bhrlf-1* obtingut per RT-PCR a partir de mostres de RNA de cèl·lules Raji d'un limfoma de Burkitt fou clonat en el vector pIRESpuro2. Això permet l'expressió d'un missatger bicistrònic que conté la seqüència d'aquest gen antiapoptòtic i de la resistència a la puromicina.

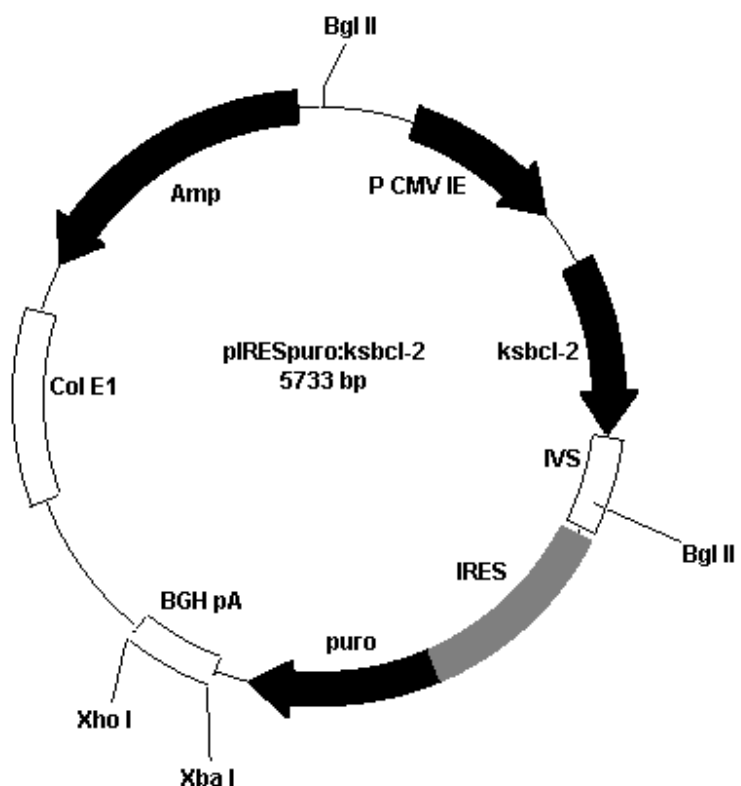
Aquest plasmidi es pot replicar en *E. coli*. La selecció de les colònies que han incorporat el vector es realitza mitjançant l'ús d'ampicil·lina a  $50 \mu\text{g}\cdot\text{mL}^{-1}$ . La concentració d'antibiòtic puromicina òptima de treball en cèl·lules d'hibridoma és  $3 \mu\text{g}\cdot\text{mL}^{-1}$  (veure Figura 5.21).



### B23. pIRESpuro2:ksbcl-2

El cDNA del gen víric *ksbcl-2*, obtingut per digestió amb *Bgl* II del vector pSG5:*ksbcl-2* (veure subapartat B7), fou clonat en el vector pIRESpuro2. Això permet l'expressió d'un missatger bicistrònic que conté la seqüència d'aquest gen antiapoptòtic i de la resistència a la puromicina.

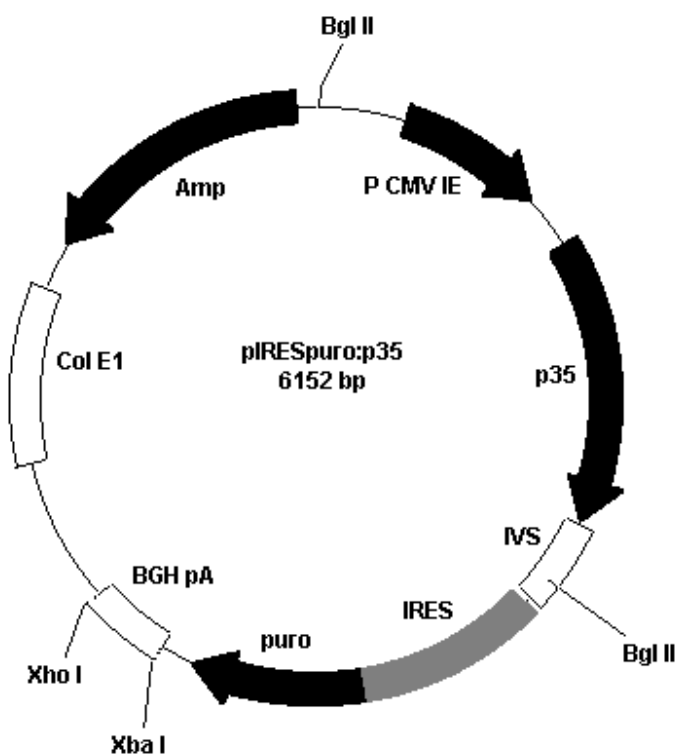
Aquest plasmidi es pot replicar en *E. coli*. La selecció de les colònies que han incorporat el vector es realitza mitjançant l'ús d'ampicil·lina a  $50 \text{ }\mu\text{g}\cdot\text{mL}^{-1}$ . La concentració d'antibiòtic puromicina òptima de treball en cèl·lules d'hibridoma és  $3 \text{ }\mu\text{g}\cdot\text{mL}^{-1}$  (veure Figura 5.21).



### B24. pIRESpuro2:p35

El cDNA del gen *p35* obtingut per PCR a partir de mostres de DNA genòmic del baculovírus *ACMNPV* fou clonat en el vector pIRESpuro2. Això permet l'expressió d'un missatger bicistrònic que conté la seqüència d'aquest gen antiapoptòtic i de la resistència a la puromicina.

Aquest plasmidi es pot replicar en *E. coli*. La selecció de les colònies que han incorporat el vector es realitza mitjançant l'ús d'ampicil·lina a  $50 \mu\text{g}\cdot\text{mL}^{-1}$ . La concentració d'antibiòtic puromicina òptima de treball en cèl·lules d'hibridoma és  $3 \mu\text{g}\cdot\text{mL}^{-1}$  (veure Figura 5.21).



---

## **ANNEX C**

## RECURSOS A LA XARXA

---

<a href="http://www.apoptosis-db.org">www.apoptosis-db.org</a>	Base de dades de proteïnes involucrades en el procés de mort per apoptosis
<a href="http://www.ncbi.nlm.nih.gov">www.ncbi.nlm.nih.gov</a>	Base de dades de seqüències nucleotídiques, proteïques, articles i programes en línia com BLAST
<a href="http://www.ebi.ac.uk">www.ebi.ac.uk</a>	Programes <i>on-line</i> de gran utilitat, com és el cas de ClustalW per a l'alignament de seqüències
<a href="http://www.copewithcytokines.de">www.copewithcytokines.de</a>	COPE Cytokines Online Pathfinder Encyclopaedia
<a href="http://www.gcq.com">www.gcq.com</a>	Paquet de programes de biologia molecular GCG
<a href="http://www.bib.uab.es">www.bib.uab.es</a>	Pàgina web de les Biblioteques de la UAB, des d'on es pot consultar el catàleg i sol·licitar còpies de documents
<a href="http://decomate.uab.es">decomate.uab.es</a>	Biblioteca virtual de la Universitat Autònoma de Barcelona
<a href="http://www.bib.uab.es/ciencias/revidig.htm">www.bib.uab.es/ciencias/revidig.htm</a>	Catàleg de la UAB amb accés a les edicions electròniques de revistes d'interès en el camp de les ciències experimentals i enginyeries